

## مهندسی شبکه های عصبی توسط اتماتانهای یادگیر: تعیین اندازه مطلوب برای شبکه های عصبی سه لایه

محمد رضا میبدی      حمید بیگی

دانشکده مهندسی کامپیوتر

دانشگاه صنعتی امیر کبیر

تهران، ایران

### چکیده

هدف از مهندسی شبکه های عصبی بررسی معاایب و مزایای شبکه های عصبی مصنوعی وارایه روش هایی برای بهبود کارایی آنهاست. یکی از موضوعات مورد بحث در مهندسی شبکه های عصبی چندلایه، یافتن ساختار مناسب (نژدیک به بینه) برای حل مسئله می باشد. معاشر و نوحوه انتخاب اندازه شبکه عصبی برای یک مسئله خاص هنوز شناخته شده نیست. در روش های کلاسیک، طراح شبکه در ابتدای آموزش ساختاری را برای شبکه تعیین و سپس شبکه را آموزش میدهد و ساختار تعیین شده در حین آموزش ثابت نگاه داشته می شود. تعیین اندازه شبکه عصبی (تعداد واحدها و لایه های مخفی) تاثیر عمده ای بر روی کارایی شبکه های عصبی خواهد داشت. طراحی یک شبکه با ساختار بینه یک مسئله ذاتا مشکل است. بهمین جهت بیشتر الگوریتم های ارایه شده برای تعیین ساختار شبکه های عصبی، الگوریتم های تقریبی هستند. این الگوریتم ها را میتوان به پنج گروه عمده الگوریتم های سازنده، الگوریتم های ترکیبی، الگوریتم های تکاملی و الگوریتم های بر اساس اتماتانهای یادگیر تقسیم کرد. تنها الگوریتم گزارش شده براساس اتماتان یادگیر، الگوریتم بقا نام دارد که توسط بیگی و میبدی ارایه گردیده است. این الگوریتم از یک اتماتان یادگیر مهاجرت انسیا (عنوان یک ابزار جستجوی عمومی) و الگوریتم یادگیری انتشار خطاب به عقب استفاده میکند و در ضمن آموزش، تعداد واحدهای مخفی یک شبکه سه لایه را تعیین مینماید. در این مقاله سه الگوریتم بر اساس اتماتانهای یادگیر مهاجرت انسیا و الگوریتم یادگیری انتشار خطاب به عقب ارایه شده است که ساختار مناسب شبکه عصبی سه لایه (ساختار یکه دارای اندازه کوچک، پیچیدگی آموزش کم و قدرت تعیین بالا باشد) را برای یک مجموعه از الگوهای آموزشی تعیین می نماید. الگوریتم های ارایه شده داری دو قسمت تعیین تعداد واحدهای مخفی مورد نیاز و تعیین تعداد وزنهای مورد نیاز شبکه می باشند. در یکی از الگوریتم های پیشنهادی برای تعیین تعداد واحدهای مخفی از الگوریتم بقا استفاده گردیده است. برای تعیین تعداد وزنهای الگوریتم جدیدی با استفاده از اتماتان یادگیر مهاجرت انسیا طراحی گردیده است. این الگوریتم با حذف وزنهایی که دارای اثر کمتری هستند نه تنها باعث کاهش پیچیدگی شبکه خواهد شد بلکه افزایش تعیین شبکه را هم بدنیال خواهد داشت. در دو الگوریتم دیگر تعداد واحدهای مخفی بصورت صریح تعیین نمی گرند بلکه تعیین تعداد واحدهای مخفی از طریق تعیین تعداد وزنهای لایه مخفی انجام میگیرد. اغلب روش های گزارش شده برای تعیین ساختار شبکه از الگوریتم های کوئنوری ای استفاده میکند و مشکل گرفتاری در حداقل محلی را دارد. در روش پیشنهادی در این مقاله بدلیل استفاده از روش های جستجوی عمومی، امکان گرفتاری در حداقل های محلی فضای ساختارها کاهش می یابد. الگوریتم های ارایه شده روی مسائل متنوعی از جمله شناسایی اعداد فارسی و شناسایی اعداد انگلیسی آزمایش شده اند. از طریق شبیه سازی نشان داده شده است که شبکه های تولید شده توسط الگوریتم های پیشنهادی دارای کارایی بالایی هستند. همچنین الگوریتم های پیشنهادی با الگوریتم هرس کارنین مقایسه گردیده است. نتایج الگوریتم های پیشنهادی هم از لحاظ ساختار تولید شده، هم از نظر زمان مورد نیاز برای تعیین ساختار شبکه عصبی، بسیار بهتر از الگوریتم هرس کارنین عمل کردند.

**کلمات کلیدی:** مهندسی شبکه های عصبی، شبکه های عصبی چندلایه، ساختار شبکه های عصبی، اتماتانهای یادگیر مهاجرت انسیا

برای حل مسئله میباشد. در روش های کلاسیک، طراح شبکه در ابتدا

### ۱- مقدمه

آموزش ساختاری را برای شبکه تعیین و سپس شبکه های عصبی مصنوعی وارایه روش هایی برای بهبود کارایی آموزش میدهد. ساختار تعیین شده در حین آموزش ثابت نگاه داشته می شود. تعیین تعداد واحدهای لایه مخفی و وزنهای آن تاثیر بسیاری بر روی کارایی شبکه دارد. یک

هدف از مهندسی شبکه های عصبی بررسی معاایب و مزایای شبکه های عصبی مصنوعی وارایه روش هایی برای بهبود کارایی آنهاست. یکی از موضوعات مورد بحث در شبکه های عصبی چندلایه یافتن ساختار مناسب (نژدیک به بینه)

الگوریتم از یک اتومات ان یادگیر مهاجرت اشیا<sup>۱</sup> بعنوان یک ایجادگر جستجوی عمومی و الگوریتم یادگیری انتشار خطابه عقب استفاده می‌کند و در ضمن آموزش، ساختار مناسبی برای شبکه عصبی سه لایه (ساختار یکدباری اندازه کوچک، پیچیدگی آموزش کم و قدرت تعمیم بالا باشد) تعیین مینماید. در الگوریتم بقای آموزش از یک شبکه عصبی سه لایه بزرگ شروع شده و اتومات ان یادگیری افزودن و کاستن واحدهای مخفی، تعداد واحدهای لایه مخفی این شبکه را تعیین می‌کند. اغلب روش‌های گزارش شده برای تعیین ساختار شبکه از الگوریتم های کوچک‌تری استفاده می‌کنند<sup>[۱]</sup> و مشکل گرفتاری در حداقل محلی را دارند. در الگوریتم بقا بدیل استفاده از روش‌های جستجوی عمومی (اتوماتانهای یادگیر)، امکان گرفتاری در حداقل های محلی فضای ساختارها کاهش می‌یابد. الگوریتم بقا بعداً در این مقاله بطور خلاصه شرح داده خواهد شد.

برای اطلاعات بیشتر در مورد الگوریتم‌های فوق می‌توانید به مرجع [۴] مراجعه نمایید.

در این مقاله سه الگوریتم بر اساس اتوماتانهای یادگیر مهاجرت اشیا و الگوریتم یادگیری انتشار خطابه عقب ارایه شده است که ساختار مناسب برای شبکه عصبی سه لایه را برای یک مجموعه از گوها می‌آموزشی تعیین می‌نماید. الگوریتم های ارایه شده دلایل دو قسمت می‌باشند: تعیین تعداد واحدهای مخفی مورد نیاز و تعیین تعداد و زنهای مورد نیاز شبکه. در الگوریتم<sup>۱</sup>، برای تعیین تعداد واحدهای مخفی از الگوریتم بقا استفاده گردیده است. الگوریتم بقا تعداد واحدهای لایه میانی شبکه را که قدرت تعمیم قبل قبولی را ارایه و قادر به مدل‌سازی مسئله گردد تعیین می‌کند. برای تعیین تعداد و زنهای الگوریتم جدیدی با استفاده از اتوماتان یادگیری مهاجرت اشیا طراحی گردیده است. این الگوریتم با حذف و زنهایی که دارای اثر کمتری هستند نه تنها باعث کاهش پیچیدگی شبکه خواهد شد بلکه افزایش تعمیم شبکه را هم بدنیال خواهد داشت. الگوریتم تعیین و زنهای با خاموش و روشن کردن و زنهای سعی در پیدا کردن و زنهای مناسب مینماید. در دو الگوریتم دیگر هدف فقط تعیین تعداد و زنهای لایه مخفی شبکه است و تعداد واحدهای لایه مخفی را از طریق تعیین تعداد و زنهای شبکه مشخص می‌گردد. این دو الگوریتم با بررسی های محلی یا عمومی و زنهای لایه مخفی سعی در پیدا کردن ساختار مناسب برای شبکه را دارند. بخش‌های بعدی مقاله بصورت زیر سازماندهی شده است. رابطه‌بین ساختار شبکه‌های عصبی چند لایه و شکل تابع تمايز<sup>۲</sup> موردمطالعه قرار گرفته است. این مطالعه در بررسی الگوریتم‌های ارایه شده در این مقاله مورده استفاده قرار خواهد گرفت. سپس در بخش ۳ معیارهای کارایی شبکه را بررسی مینماییم. مقدمه‌ای بر اتوماتانهای یادگیر و الگوریتم بقا در بخش ۴ آمده است. الگوریتم‌های پیشنهادی در بخش ۵ بیان شده‌اند. نتایج آزمایشها برای مسائل مختلف در بخش ۶ و در پایان نتیجه گیری آورده شده است.

**۲- رابطه‌بین ساختار شبکه عصبی و شکل تابع تمايز**  
یکی از روش‌های تعیین تابع تمايز، استفاده از شبکه عصبی چند لایه است. یک شبکه عصبی چند لایه قادر است تا هر نگاشت غیرخطی (تابع تمايز) را بازیگردانی نمونه‌های آموزشی تقریب‌بندی کند. کیفیت دسته بندی، تعداد و شکل تابع تمايز

شبکه‌بالندازه کوچک، خروجی دقیق تولید نمی‌کند و شبکه‌ای بالندازه بزرگ، بسیار کند و پر هزینه خواهد بود و برای تعیین مجموعه آموزشی، نیاز به مجموعه آموزشی بزرگی خواهد داشت. طراحی یک شبکه ساختار بهینه یک مسئله Hard-NP است<sup>[۱۴]</sup>. بهمین جهت بیشتر الگوریتم‌های ارائه شده برای تعیین ساختار شبکه‌های عصبی، الگوریتم‌های تقریبی هستند. این الگوریتم‌ها قبل، در حين یا بعد از یادگیری ساختار مناسب برای شبکه را تعیین می‌نمایند. بعضی از این الگوریتم‌ها از اطلاعات محلی و بعضی دیگر از اطلاعات عمومی برای یافتن ساختار مناسب شبکه استفاده می‌کنند. این الگوریتم‌ها را میتوان به بنچ گروه عده زیر تقسیم کرد.

**(الف) الگوریتم‌های هرس<sup>۱</sup>**: این الگوریتم‌ها از یک شبکه بزرگ شروع نموده و بتدریج در حين آموزش یا بعد از آن واحد های با وزنهای اضافی را از شبکه هرس می‌کنند. در یک دسته از الگوریتم‌های هرس یک جمله جریمه به تابع هدف شبکه افزوده می‌شود و باعث حذف وزنهای کم اهمیت تر در حين آموزش شبکه می‌گردد<sup>[۵۵]</sup>. در دسته‌ای دیگر از الگوریتم‌های هرس ابتدا شبکه بطور کامل آموزش داده می‌شود و در پایان آموزش شبکه عصبی، حساسیت تابع هدف شبکه نسبت به هر وزن یا واحد (تأثیر حذف یک وزن یا واحد در تابع هدف شبکه) محاسبه می‌گردد و وزنهای یا واحدهایی حذف می‌گردد که دارای حساسیت کمتری باشند<sup>[۵۴]</sup>. در الگوریتم‌های هرس نیاز است که تعداد واحدهای مخفی را ایجاد نمی‌کند زیرا کران بالای تعداد واحدهای مخفی برای یک مسئله معین و برای بعضی از انواع شبکه‌ها مشخص است<sup>[۲۲][۲۰][۲۱]</sup>. این الگوریتم‌ها هم از مزایای شبکه‌های بزرگ (کم بودن پیچیدگی آموزش و دوری از حداقل های محلی) و هم از مزایای شبکه‌های کوچک (قدرت تعمیم بالا) بهره می‌برند.<sup>[۱۱][۱۲][۱۳][۲۰][۲۱]</sup>

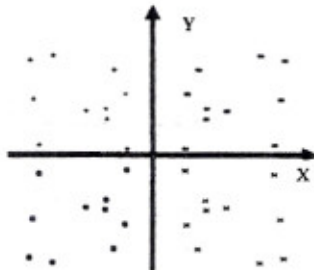
**(ب) الگوریتم‌های سازنده<sup>۲</sup>**: این الگوریتم‌ها یا یک شبکه کوچک شروع به آموزش و بتدریج در حين آموزش شبکه، واحد یا لایه مخفی به شبکه می‌افزایند. این الگوریتم‌ها اعملاً شبکه‌های کوچک تولید می‌کنند که دارای بیچاره بودند.<sup>[۲۲][۲۱][۱۹][۱۶][۱۳][۷][۲۰]</sup>

**(ج) الگوریتم‌های توکیبی**: این گروه از الگوریتم‌ها، از ترکیبی از الگوریتم‌های سازنده و الگوریتم‌های هرس برای تعیین ساختار شبکه استفاده می‌کنند. در این الگوریتم‌ها برای رسیدن به شبکه مطلوب میتوان وزن، واحد یا لایه مخفی را کم با زیاد نمود.<sup>[۹][۲۴]</sup>

**(د) الگوریتم‌های تکاملی<sup>۳</sup>**: در این الگوریتم‌ها تعیین ساختار بهینه برای شبکه از طریق جستجو در فضای ساختارها انجام می‌گیرد. هر نقطه از این فضای نماینده یک ساختار شبکه است. الگوریتم جستجو با استفاده از یک معیار کارایی مانند حداقل خطأ و یا پیچیدگی آموزش بدنیال مناسب‌ترین ساختار می‌باشد.<sup>[۱][۲۲][۲۳][۲۷][۲۸]</sup>

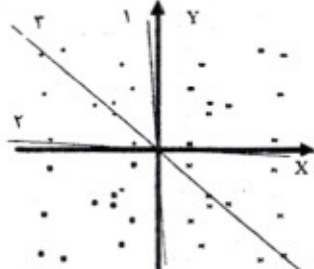
**(ه) الگوریتم‌های بر اساس اتوماتانهای یادگیر<sup>۴</sup>**: تنها الگوریتم گزارش شده که بر اساس اتوماتانهای یادگیر طراحی شده است الگوریتم<sup>۵</sup> توانایم دارد که توسط بیکاری و میبدی<sup>[۴۲]</sup> ارایه گردیده است. این

- 1- Pruning Algorithms
- 2- Constructive Algorithms
- 3- Evolutionary Algorithms
- 4- Learning Automata



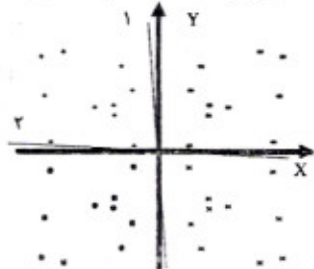
شکل ۲: توزیع الگوها در صفحه

حال فرض کنید که یک شبکه عصبی سه لایه با دو واحد در لایه ورودی، سه واحد در لایه مخفی با تابع فعالیت سیگموئید و چهار واحد در لایه خروجی با تابع فعالیت خطی برای دسته بنده الگوهای استفاده گردد. بدلیل اینکه این شبکه دارای دو واحد در لایه ورودی است هر واحد در لایه مخفی یک خط (که با افزایش تعداد واحد های ورودی خط به صفحه یا ابر صفحه تبدیل میگردد) در صفحه تولید میکند. خطوط تولید شده توسط واحد های لایه مخفی این شبکه در شکل ۳ نشان داده شده است (از لازم بذکر است که شبکه فوق توسط الگوریتم انتشار خط به عقب آموزش داده شده است).



شکل ۳: خط های تولید شده توسط واحد های مخفی

با توجه به اینکه خروجی واحد مخفی ۳ (خطی که با شماره ۳ نشان داده شده است) در جداسازی دسته های زیکار تائیری ندارد الگوهای فوق میتوانند توسط یک شبکه عصبی سه لایه که دارای دو واحد ورودی، دو واحد مخفی و چهار واحد خروجی است دسته بنده گردند. خط های تولید شده توسط واحد های مخفی این شبکه در شکل ۴ نشان داده شده است.

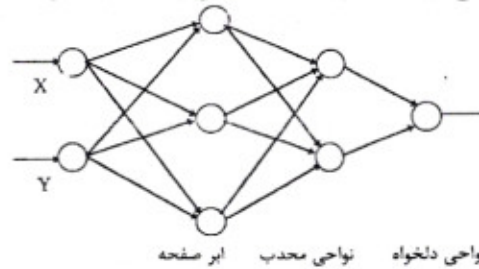


شکل ۴: خط های تولید شده توسط واحد های مخفی

همانطور که در این شکل دیده میشود دو خط ۱ و ۲ برای جداسازی دسته های یکدیگر کافی هستند. توجه کنید که بین لايه ورودی ولايه مخفی این شبکه شش اتصال وجود دارد. با توجه به اینکه برای دسته بنده الگوهای بیزیگی لا برای خط شماره ۱ و بیزیگی X برای خط شماره ۲ چندان مهم نیست. میتوان این الگوهای را با یک شبکه عصبی سه لایه با دو واحد ورودی، دو واحد مخفی، چهار واحد خروجی و ۴ اتصال بین لايه ورودی و لايه مخفی از هم جدا نمود. خطوط حاصله از این شبکه در شکل ۵ نشان داده شده است.

تعیین شده توسط این روش بستگی به تعداد لایه های مخفی، تعداد واحد هادر هر لایه مخفی، شکل تابع فعالیت واحدها، وزنها وغیره دارد. در یک شبکه عصبی چند لایه با  $n$  ورودی  $\{x_1, x_2, \dots, x_n\}$  را در که واحد های آن دارای تابع فعالیت  $f(\cdot)$  باشند هر واحد در لایه مخفی اول یک ابر صفحه با معادله  $P_k = f(\sum_{i=1}^n x_i w_{ik} + b_k)$  تولید میکنند

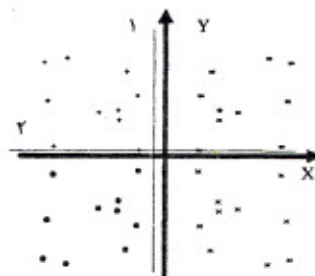
که  $w_{ik}$  وزن اتصال بین واحد ورودی  $x_i$  و واحد مخفی شماره  $k$  و  $b_k$  مقدار آستانه این واحد میباشد. واحد های موجود در لایه مخفی دوم با استفاده از ابر صفحه های تولید شده توسط واحد های لایه مخفی اول، نواحی محاسبی تولید میکنند که ممکن است باز یا باسته باشند مانند ناحیه داخل مربع یا مثلث یا ناحیه بین دو خط موازی. اضافه نمودن واحد به لایه مخفی اول سبب افزایش تعداد لبه های موجود در مرز نواحی محاسب تولید شده توسط این لایه میگردد. بنابراین تعداد لبه های موجود در مرز هر ناحیه حداکثر برابر با تعداد واحد های لایه مخفی اول است. بسیاری از این ابر صفحه ها تقریباً موازی و نزدیک بهم هستند و اطلاعات تقریباً یکسانی در وزنهای آنها ذخیره شده است که میتوانند بر احتی حذف شوند. اگر یک لایه دیگر به شبکه اضافه شود واحد های لایه جدید با استفاده از نواحی محاسب تولید شده توسط واحد های لایه مخفی دوم، ترکیبی از این نواحی را (استراک، اجتماع و ...) تولید میکنند که الزاماً محاسب نیستند و میتوانند هر شکل دلخواهی به خود بگیرند. پیچیدگی شکل ناحیه های تولید شده به تعداد واحد های موجود در هر لایه مخفی از شبکه بستگی دارد. بنابراین با استفاده از یک شبکه عصبی چهار لایه (با احتساب لایه ورودی) میتوان ناحیه هایی با هر شکلی را تولید نمود. با توجه به اینکه مرز این نواحی همان تابع تمایز میباشد در نتیجه تعداد لایه های مخفی و تعداد واحد هادر هر لایه مخفی از شبکه، شکل تابع تمایز را مشخص میکند. اگر تابع فعالیت واحدها، تابع پلے باشد مرز اتصال بین دو ابر صفحه در هر ناحیه شکسته میگردد مانند  $\theta$ -وس مریع یا مثلث. برای رفع شکستگی در مرز نواحی میتوان از تابع سیگموئید برای تابع فعالیت واحد ها استفاده کرد. استفاده از تابع سیگموئید برای تابع فعالیت واحد های ابتدا هموار شدن مرز نواحی تولید شده میگردد هر چند شکل ناحیه های ابتدا باقی میماند [۴]. شکل ۱ خلاصه ای از انواع نواحی تولید شده توسط شبکه عصبی چهار لایه را نشان میدهد.



شکل ۱: نواحی تولید شده توسط یک شبکه عصبی چهار لایه

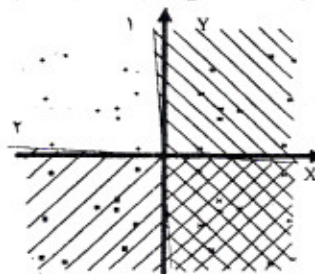
مثال زیر میتواند بعضی از نکات طرح شده فوق را روشن تر نماید.

**مثال ۱:** فرض کنید که چهار دسته الگو داشتباشیم (که در شکل ۲ توسط نمادهای  $+$ ,  $*$ ,  $X$  و  $#$  نشان داده شده اند) و هر الگو توسط دو بیزیگی X و Y نمایش داده شود. شکل ۲ نحوه قرار گرفتن الگوهای ابر صفحه را نشان میدهد.



شکل ۵: خط های تولید شده توسط واحد های مخفی

با توجه به مثال فوق، تعداد اندیشهای مخفی، تعداد اندادهای مخفی در هر لایه و نوع اتصال وزنهای، شکل نواحی تولید شده توسط شبکه عصبی را مشخص می‌کنند. اگر تعداد اندادهای مخفی زیاد باشد تعداد این صفحه‌های موجود در مرز تشکیل دهنده نواحی زیادتر می‌شوند. وزنهای متصل به یک واحد مخفی وابستگی ابرصفحه تولید شده را به ویژگیهای الگوهای ورودی تعیین می‌کنند و با عبارتی دیگر تعداد وزنهای ورودی به هر واحد مخفی، اعداد ابرصفحه تولید شده توسط واحد های مخفی آن در شکل ۶ نشان داده شده است.



شکل ۶: نواحی تولید شده توسط شبکه عصبی

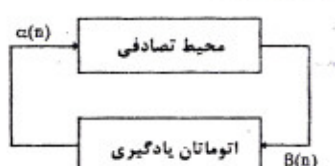
### ۳- معیارهای کارایی شبکه

در این قسمت رابطه پیچیدگی آموزش و قدرت تعیین شبکه با ساختار شبکه های عصبی را مورد بررسی قرار میدهیم.

**پیچیدگی آموزش شبکه:** پیچیدگی آموزش شبکه در واقع همان پیچیدگی زمانی الگوریتم آموزش می‌باشد که سیستم یه کاربرد موردنظر، ساختار شبکه عصبی والگوریتم یادگیری دارد. پیدا نمودن وزنهای مناسب برای شبکه برای یک مسئله مشخص یک مسئله ذاتاً مشکل می‌باشد و در گروه مسائل NP-Complete قرار دارد [۵۰]. بهمین دلیل برای تعیین وزنهای شبکه بمنظور حصول به یک نگاشت صحیح، الگوریتمهای تقریبی پیشنهاد شده است که الگوریتم یادگیری انتشار خطابه عقب کم براساس جستجو امتداد گردیده این بنایه است یک نمونه از آن می‌باشد. الگوریتمهای جستجو در امتداد گردیده این دارای زمان اجرایی از مرتبه نمایی نیستند اما بسیار کند عمل می‌کنند. یک دلیل برای کنندگی این الگوریتمها شکل خاص تابع مورد جستجو (مجموع مربعات خط) می‌باشد. بنابراین پیچیدگی آموزش شبکه به شکل سطح خطوط ابسته است که خود به ساختار شبکه عصبی بستگی دارد [۵۱]. هنوز شکل سطح خطوط ابسته برای انواع شبکه ها بررسی نشده است. تنها نتیجه ای که در این رابطه در دسترس است برای شبکه های سه لایه می‌باشد. اثبات شده است که اگر تعداد اندادهای مخفی در یک شبکه عصبی سه لایه به اندازه یک واحد کمتر از تعداد داده های آموزشی انتخاب شود سطح خطوط این شبکه بدون حداقل محلی خواهد

### ۴- اتوماتانهای یادگیر

یادگیری در اتوماتانهای یادگیر، انتخاب اقدام بهینه‌امیان مجموعه اقدامهای مجاز می‌باشد. این اقدام را یک محیط تصادفی اعمال می‌شود و محیط به این اقدام توان این بوسیله یک پاسخ از مجموعه پاسخهای مجاز جواب میدهد. پاسخ محیط بصورت آماری به اقدام اتوماتان واسته است. اصطلاح محیط شامل اجتماع تمام شرایط خارجی و تاثیرات آنها را عملکرد اتوماتان می‌باشد. یک محیط بصورت یکسه تابی ( $\beta_1, \beta_2, \dots, \beta_n$ ) نشان داده می‌شود. مجموعه  $\{\alpha_1, \alpha_2, \dots, \alpha_m\}$  مجموعه ورودیها مجموعه است.  $\{\beta_1, \beta_2, \dots, \beta_n\}$  مجموعه احتمالات ( $\alpha_i$  احتمال شکست اقدام  $\beta_j$  است) و مجموعه  $\{\beta_1, \beta_2, \dots, \beta_n\}$  خروجی دودوی محیط می‌باشد [۲۵]. اتصال یک اتوماتان با محیط در شکل ۷ نشان داده شده است.



شکل ۷: اتصال اتوماتان یادگیری با محیط

در صورتیکه از اوتوماتنهای یادگیر برای دسته بندی یا افزار اشیاء استفاده شوند علیرغم سرعت همگرایی خوب، تعداد اقدام های اوتوماتان بسیار زیاد خواهد بود [۲۶]. برای کاهش تعداد اقدام های اوتوماتان، اوتوماتان مهاجرت اشیا توسط  $\alpha$  و  $\beta$ <sup>۱</sup> پیشنهاد شده است [۲۶]. تعداد خروجی های این اوتوماتان بمراتب کمتر از اوتوماتنهای قبلی است ولی در عوض سرعت همگرایی آن پایین نر میباشد.

آوتوماتان مهاجرت اشیا: اوتوماتان مهاجرت اشیاء توسط پنج تابی  $\alpha = \{\alpha_1, \alpha_2, \dots, \alpha_r\}$  نشان داده میشود [۲۶]. که  $\alpha_1, \alpha_2, \dots, \alpha_r$  مجموعه اقدام های مجاز،  $\Phi = \{\Phi_1, \Phi_2, \dots, \Phi_r\}$  مجموعه وضعیت ها،  $\beta = \{0, 1\}$  مجموعه ورودی های اوتوماتان یادگیر (در این مجموعه یک  $F: \Phi \times \beta \rightarrow \alpha$  تابع نگاشت خروجی میباشد).

آوتوماتان مهاجرت اشیاء توسط  $\alpha$  و  $\beta$ :  $F: \Phi \times \beta \rightarrow \alpha$  تابع نگاشت وضعیت ها و

آوتوماتان مهاجرت اشیاء توسط  $\Phi$ :  $\Phi \rightarrow \alpha$  تابع نگاشت خروجی اوتوماتان میباشد. این نوع اوتوماتان برای دسته بندی اشیاء [۲۶]، انتساب حروف به کلیدها [۲۷]، افزار گراف [۲۸]، تناظر گراف [۴۲] و تعیین تعداد واحد های مخفی شبکه های عصبی [۴۳] مورد استفاده قرار گرفته است.

در این اوتوماتان هر اقدام یک دسته از الگوها را نشان میدهد. در اوتوماتنهای با ساختار ثابت پاسخ محیط به اوتوماتان سبب تغییر وضعیت اوتوماتان میگردد در صورتیکه در اوتوماتان مهاجرت اشیاء، اشیا به وضعیت های اوتوماتان انتساب داده میشوند و پاسخ محیط به اوتوماتان سبب گردش اشیا در بین وضعیت های اوتوماتان میگردد. از طریق این گردش دسته بندی اشیا انجام میگیرد. اگر شی  $w_i$  در اقدام شماره  $r$  اوتوماتان مهاجرت اشیا قرار داشته باشد این شی متعلق به دسته شماره  $r$  است. برای اقدام  $\alpha$  مجموعه وضعیت  $\{\Phi_{(k-1)N+1}, \dots, \Phi_{kN}\}$  در نظر گرفته میشود که  $N$  عمق حافظه را نشان میدهد. بدون از دست دادن عمومیت بحث میتوان  $\Phi_{(k-1)N+1} \dots \Phi_{kN}$  را داخلی ترین وضعیت و  $\Phi_{kN}$  را خارجی ترین وضعیت این اقدام در نظر گرفت. اگر دو شی  $w_i$  و  $w_j$  بترتیب در وضعیت های  $\Phi_{(k-1)N+1} \dots \Phi_{kN}$  و  $\Phi_{(k-1)N+1} \dots \Phi_{kN}$  (برای  $m > 1$ ) قرار داشته باشند در اینصورت احتمال تعلق شی  $w_i$  به این دسته از احتمال تعلق شی  $w_j$  بیشتر است. بنابر این برای اقدام  $\alpha$  وضعیت  $\{\Phi_{(k-1)N+1}, \dots, \Phi_{kN}\}$ ، وضعیت با بیشترین احتمال و وضعیت  $\Phi_{kN}$ ، وضعیت باکمترین احتمال نامیده میشود.

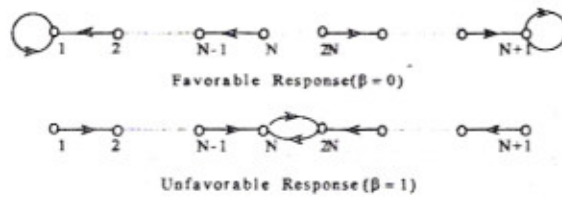
آوتوماتان یادگیر تعیین تعداد واحد های لایه مخفی<sup>۲</sup>: در این قسمت اوتوماتان یادگیر تعیین تعداد واحد های مخفی که از نوع مهاجرت اشیا میباشد و اساس الگوریتم بقا را تشکیل میدهد بطور خلاطه شرح داده میشود [۴۳]. وظیفه این اوتوماتان دسته بندی واحد های لایه مخفی یک شبکه عصبی سه لایه به دو دسته واحد های مناسب و واحد های نا مناسب است. اوتوماتان یادگیر تعیین تعداد واحد های لایه مخفی بصورت یک شش تابی  $\alpha = \{\alpha_1, \alpha_2, \dots, \alpha_r\}$  نشان داده میشود که در آن

این اوتوماتان دو اقدام دارد که اقدام شماره یک آن اقدام مناسب یا واحد های روش نام دارد. واحد هایی که در وضعیت های این اقدام قرار دارند برای آموزش شبکه عصبی مورد استفاده قرار میگیرند. اقدام شماره دو آن اقدام نام مناسب یا واحد های خاموش نام دارد. واحد هایی

آوتوماتان های یادگیر به دو خانواده آوتوماتان های یادگیر با ساختار ثابت<sup>۳</sup> و آوتوماتان های یادگیر با ساختار متغیر<sup>۴</sup> دسته بندی میشوند. آوتوماتان های *Krylov* و *Tsetline* مثالهایی از خانواده آوتوماتان های یادگیر با ساختار ثابت هستند. یک اوتوماتان یادگیر با ساختار ثابت را میتوان با یک پنج تابی  $\langle \alpha, \Phi, \beta, E, G \rangle$  نشان داد. که  $\alpha = \{\alpha_1, \alpha_2, \dots, \alpha_r\}$  مجموعه اقدام های مجاز برای اوتوماتان یادگیر،  $\Phi = \{\Phi_1, \Phi_2, \dots, \Phi_r\}$  مجموعه وضعیت های اوتوماتان یادگیر (در این مجموعه یک  $\beta = \{0, 1\}$  مجموعه ورودی های اوتوماتان یادگیر (در این مجموعه یک  $F: \Phi \times \beta \rightarrow \alpha$  تابع نگاشت خروجی میباشد).

آوتوماتان مهاجرت اشیاء توسط  $\alpha$  و  $\beta$ :  $G: \Phi \rightarrow \alpha$  تابع نگاشت خروجی میباشد. اقدام اوتوماتان بعنوان ورودی به محیط داده میشود و محیط بعد از اعمال اقدام داده شده توسط اوتوماتان یک پاسخ تصادفی که میتواند موفق یا ناموفق باشد را تولید میکند که بعنوان ورودی به اوتوماتان داده میشود. اوتوماتان با توجه به پاسخ محیط اقدام مربوطه را جریمه میکند و یا به آن پاداش میدهد. اگر احتمال تغییر وضعیت ها در اوتوماتان ثابت باشد آنرا اوتوماتان یادگیری با ساختار ثابت و در غیر اینصورت آنرا اوتوماتان یادگیری با ساختار ثابت بنامند. در ادامه بطور مختصر یک نمونه از اوتوماتان های یادگیر با ساختار ثابت بنام اوتوماتان *Tsetline* شرح داده میشود. برای اطلاعات بیشتر در مورد اوتوماتنهای با ساختار متغیر به مراجع [۱۷][۲۵][۴۵][۴۶][۴۷] مراجعه نمایید.

آوتوماتان *Tsetline* ( $L_{2N,2}$ ): این اوتوماتان  $2N$  وضعیت و ۲ اقدام دارد و سعی دارد از رفتار گذشته محیط برای تصمیم گیری های آینده خود استفاده نماید. این اوتوماتان تعداد پاسخ های دریافت شده برای هر اقدام را میشمارد و در صورتی اقدام خود را تغییر میدهد که تعداد پاسخ های ناموفق بیشتر از تعداد پاسخ های موفق (نا موفق)، اوتوماتان بسته باشد. برای هر پاسخ دریافت شده موفق (نا موفق)، اقدام انتخاب شده وضعیت های داخلی تر (وضعیت های خارجی تر) اقدام انتخاب شده حرکت میکند. گراف تغییر حالت اوتوماتان در شکل ۸ نشان داده شده است.



شکل ۸: اوتوماتان *Tsetline*

آوتوماتنهای یادگیر دارای کاربردهای فراوانی میباشند بعضی از این کاربردها عبارتند از: مسیر یابی در شبکه های ارتباطی [۱۸]، فشرده سازی تصاویر [۸]، شناسایی الگو [۲۶]، برنامه ریزی فرایندها<sup>۵</sup> در یک شبکه کامپیوتری [۲۵]، تئوری صفت [۲۱]، کنترل دسترسی در شبکه های انتقال ناهمزن [۱۷]، کمک به آموزش شبکه های عصبی [۲۰]، دسته بندی و افزار اشیاء [۲۶].

1- Fixed Structure Learning Automata (FSLA)

2- Variable Structure Learning Automata (VSLA)

3- Unfavorable

4- Favorable

5- Process

6- Asynchronous transfer mode (ATM)

الگوریتم بقا از یک اتوماتان یادگیر تعیین تعداد واحد های لایه مخفی (بعنوان یک ابزار جستجوی عمومی) و الگوریتم یادگیری انتشار خطابه عقب استفاده میکند و در ضمن آموزش، تعداد واحدهای مخفی مورد نیاز برای یک شبکه عصبی سه لایه را تعیین مینماید. در الگوریتم بقا، آموزش از یک شبکه بزرگ شروع شده و اتوماتان یادگیر با افزودن و کاستن واحدهای مخفی، تعداد واحدهای لایه مخفی یک شبکه عصبی سه لایه را تعیین میکند. در این الگوریتم، مناسب بودن یا نامناسب بودن یک واحد مخفی بر اساس واریانس فعالیت (انرژی مصرف شده) آن واحد برای الگوهای مختلف میباشد.

در الگوریتمهای پیشنهادشده در این مقاله از دو اتوماتان استفاده میگردد در روی یکی از این اتوماتانها وزنها را برای اتوماتان دیگر واحدهای مخفی شبکه قرار میگیرند. برای سادگی در این مطلب، دو اتوماتان موجود در الگوریتم بصورت HULA(2, N<sub>1</sub>, H)-HWLA(2, N<sub>2</sub>, W) نشان داده میشوند که HULA(2, N<sub>1</sub>, H) اتوماتان تعیین تعداد واحدهای لایه مخفی است که دارای دو اقسام و عمق حافظه N<sub>1</sub> است و روی وضعیت های آن H واحد مخفی قرار دارد و HWLA(2, N<sub>2</sub>, W) وزن های لایه مخفی<sup>۱</sup> است که دارای دو اقسام و عمق حافظه N<sub>2</sub> است که روی وضعیت های آن مجموعه وزن تعداد وزن های لایه مخفی شبکه در شکل ۹ نشان داده شده است. همچنین برای تنظیم فعالیت اتوماتانها، الگوریتم هایی بنام الگوریتم های زمانبندی<sup>۲</sup> معرفی شده است. وظیفه این الگوریتم ها خاموش یا روشن کردن این دو اتوماتان است. انواع مختلفی از الگوریتم های زمانبندی میتواند مورد استفاده قرار گیرد که در این مقاله تنها به دو مورد اشاره شده است. لازم به ذکر است که الگوریتم های زمانبندی مختلف منجر به کارایی های متفاوت میگردند. حال به شرح الگوریتم های پیشنهادی میپردازیم.

**الگوریتم ۱:** این الگوریتم داری دور حلقه میباشد: مرحله تعیین تعداد واحدهای موردنیاز لایه مخفی و مرحله تعیین تعداد وزن های موردنیاز لایه مخفی شبکه. برای تعیین تعداد واحدهای لایه مخفی از الگوریتم بقا استفاده گردیده است. الگوریتم بقا حداقل تعداد واحدهای لایه میانی شبکه عصبی سه لایه که قدرت تعمیم قابل قبولی ارایه و قادر به مدل سازی مستثنیه گردد را تعیین میکند. در الگوریتم بقا، در ابتدا همه واحدهای مخفی روشن بوده و در وضعیت  $\Phi$  قرار میگیرند و به همه واحدهای روشن مدتی اجازه داده میشود تا در آموزش شبکه شرکت نمایند. واحد هایی که عملکرد آنها در این مدت مناسب نبوده جرمیه میشوند، واحد هایی که عملکرد آنها خیلی خوب بوده پاداش میگیرند و واحد هایی که در مورد آنها نتیجان تصمیم گیری قطعی نمود بدون تغییر وضعیت باقی میمانند. برای تشخیص خوب یا بد بودن عملکرد یک واحد از متوسط انرژی مصرف شده آن واحد استفاده میشود. چگونگی تغییر فعالیت یک واحد به ازای مجموعه الگوهای آموزشی، انرژی مصرف شده آن واحد نامیده میشود.

پس از اتمام مرحله اول، مرحله دوم الگوریتم که تعیین تعداد وزن های لازم برای لایه مخفی شبکه میباشد شروع میشود. این مرحله از وزن های متصل به واحد های تعیین شده در مرحله اول الگوریتم استفاده میکند

1-Hidden Weight Learning Automata (HWLA)

2-Timming Algorithms

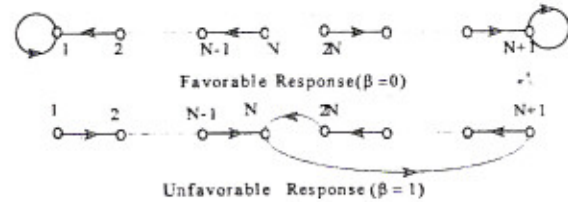
که در وضعیت های مربوط به این اقدام قرار میگیرند برای آموزش شبکه عصبی مورد استفاده قرار نمی گیرند.

-۲  $H = \{H_1, H_2, \dots, H_N\}$  مجموعه واحدهای مخفی موجود در وضعیت های اتوماتان میباشد. اگر واحد  $H_i$  در اقدام شماره یک اتوماتان ظاهر شود این واحد بعنوان واحد مخفی مناسب (روشن) و در غیر اینصورت این واحد بعنوان واحد مخفی نامناسب (خاموش) در نظر گرفته میشود.

-۳  $\Phi = \{\Phi_1, \Phi_2, \dots, \Phi_{2N}\}$  مجموعه وضعیت های این اتوماتان به دو زیر مجموعه  $\{\Phi_1, \dots, \Phi_N\}$  و  $\{\Phi_{N+1}, \dots, \Phi_{2N}\}$  افزار میشود و براساس اینکه واحد های مخفی در چه وضعیتی قرار داشته باشند، دسته بندی میشوند. برای این اساس واحدهای روشن با مجموعه  $\{0, 1 \leq State(H_i) \leq N\}$  و واحد های خاموش با مجموعه  $\{OFF = \{H_i \mid N+1 \leq State(H_i) \leq 2N\}$  نشان داده میشوند و  $State(H_i)$  نشان دهنده وضعیتی است که واحد  $H_i$  در آن قرار دارد.

-۴  $\beta = \{0, 1\}$  مجموعه ورودی های اتوماتان میباشد. در این مجموعه یک نمایانگر شکست و صفر نمایانگر موقعیت میباشد.

-۵  $F: \Phi \times \beta \rightarrow \Phi$ :تابع نگاشت وضعیت ها میباشد. این تابع از روی وضعیت فعلی و ورودی اتوماتان وضعیت بعدی آنرا تولید می نماید. در واقع این تابع چگونگی گردش واحدهای مخفی را در وضعیت های اتوماتان مشخص میکند. شرح کارکرد این تابع در [۴۳] آمده است. برای سهولت نمایش در ارائه مطلب، اتوماتان یادگیر تعیین تعداد واحدهای لایه مخفی با K اقدام، عمق حافظه N و انتساب M واحد مخفی توسط HULA (K, N, M) نشان داده میشود که گراف تغییر حالت برای اتوماتان در شکل ۹ نشان داده شده است.



شکل ۹: اتوماتان (2, N, 1)

-۶  $G: \Phi \rightarrow \alpha$ : تابع نگاشت خروجی میباشد. این تابع تصمیم میگیرد که به ازای هر وضعیت، اتوماتان چه مقدامی را انجام دهد. اگر واحد  $H_i$  متعلق به مجموعه وضعیت های  $\{\Phi_1, \Phi_2, \dots, \Phi_N\}$  باشد این واحد روشن در نظر گرفته میشود. اگر واحد روشن در وضعیت  $\Phi$  قرار داشته باشد مناسبتین واحد است و بیشترین اهمیت را دارد میباشد. اگر در روشنی  $\Phi$  قرار داشته باشد دارای کمترین اهمیت میباشد. اقدام شماره دونیز بهمین صورت میباشد. اگر واحد متعلق به مجموعه وضعیت های  $\{\Phi_{N+1}, \dots, \Phi_{2N}\}$  باشد واحد را خاموش در نظر میگیریم. اگر واحد در وضعیت  $\Phi_{N+1}$  قرار داشته باشد بیشترین اهمیت را دارد و اگر در وضعیت  $\Phi_{2N}$  قرار داشته باشد دارای کمترین اهمیت میباشد.

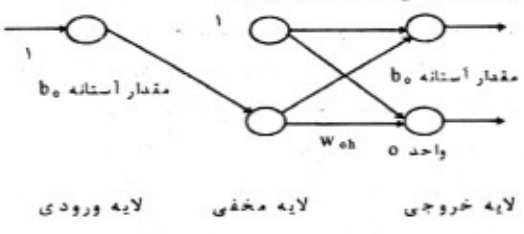
##### ۵- الگوریتم های پیشنهادی

این قسمت ابتدا به شرح مختصری از الگوریتمها می پرسد و سپس الگوریتم های جدیدی بر اساس اتوماتانها یادگیر مهاجرت اشیا را میکند.

در شکل فوق پهنانی روشنی نامیده میشود و بصورت زیر محاسبه میگردد.

$$X_{ON}(h) = \lambda_{ON} \frac{|\text{OFF}_w(h)|}{|\text{INPUT} + 1|}$$

ثابت  $\lambda_{ON} < 1$  ضریب پهنانی روشنی،  $|\text{INPUT}|$  تعداد واحدهای لایه ورودی و  $|\text{OFF}_w(h)|$  مجموعه وزنهای خاموش متصل به واحد مخفی روشن  $h$  است. وزنهایی که قدر مطلق مقدار آنها از  $X_{ON}(h)$  -  $\mu_{ON}(h)$  کمتر باشد جریمه میشوند. وزنهایی را که قدر مطلق مقدار آنها از  $X_{ON}(h) + \mu_{ON}(h)$  بیشتر باشند پاداش میگیرند و وزنهایی که قدر مطلق مقدار آنها در فاصله  $[\mu_{ON}(h), X_{ON}(h)]$  قرار دارند تغییر وضعیت باقی میمانند. اگر یک واحد مخفی (مطبق شکل ۱۱) دارای تنها یک وزن آستانه باشد این واحد وزن آرای میتوان حذف کرد و اثر خروجی این واحد را در مقدار آستانه واحدهای لایه خروجی اعمال نمود. در اینحالت مقدار  $f(b_h) * W_{hb} + b_h$  را بعنوان مقدار آستانه واحد خروجی ( $b_h$ ) قرار میدهیم و وزنهای  $b_h$  و واحد مخفی  $h$  حذف میگردد.



شکل ۱۱: حذف وزن باسیان یک واحد

تشخیص نحوه عملکرد یک وزن خاموش: بدیل اینکه در این مرحله اتماتانهای تعیین تعداد واحدهای مخفی خاموش است بنابراین هیچکدام از واحدهای مخفی تغییر وضعیت نمیدهند و تنها وزنهای خاموش متصل به واحدهای روشن بررسی میگردند. یک وزن خاموش در آموزش شبکه شرکت نمیکند بنابراین مقدار آنرا از آخرین زمان روشن بودن آن محاسبه میکنیم. اگر یک وزن برای یک مدت طولانی خاموش باشد از اهمیت و در نتیجه از مقدار آن کاسته میشود. بنابراین مقدار یک وزن خاموش بصورت زیر محاسبه میشود.

$$W_{hk}(n+1) = W_{hk}(n) \lambda_d$$

که ثابت  $\lambda_d < 1$  ضریب کاهش مقدار وزن نامیده میشود و  $n_g$  شاخص زمان را نشان میدهد. به این ترتیب مقدار یک وزن خاموش بتدریج کم میشود. واریانس وزنهای خاموش بصورت زیر محاسبه میشود

$$\sigma_h = \sqrt{\frac{\sum_{W_{hk} \in ON_w(h)} (W_{hk} - \mu_{OFF_w(h)})^2}{|\text{OFF}_w(h)|}} \quad h \in ON$$

که در آن  $W_{hk}$  وزن اتصال بین واحد ورودی  $k$  به واحد مخفی  $h$  مجموعه واحدهای روشن و  $\mu_{OFF_w(h)}$  میانگین قدر مطلق مقدار وزنهای خاموش متصل به واحد مخفی روشن  $h$  میباشد. پس از محاسبه واریانس وزنهای خاموشی که قدر مطلق مقدار وزنهای خاموشی که قدر مطلق مقدار آنها از یک مقدار آستانه ای کمتر باشد پاداش میگیرند و وزنهای خاموشی که قدر مطلق مقدار آنها از یک مقدار آستانه ای دیگر بیشتر باشد میباشد. پس از محاسبه واریانس قدر مطلق مقدار وزنهای خاموش و برای وزنهای متصل به هر یک از واحدهای مخفی روشن و بصورت زیر محاسبه میگردد.

و تنها طریقه اتصال وزنهای بین لایه ورودی و لایه مخفی را تعیین مینماید. در این مرحله اتماتان تعیین واحدهای لایه مخفی خاموش و اتماتان تعیین تعداد وزنهای لایه مخفی متصل به واحدهای مخفی روشن در ابتدا همه وزنهای موجود در شبکه (وزنهای متصل به واحدهای مخفی روشن) در وضعیت  $\Phi$  قرار میگیرند. به همه وزنهای روشن مدتی اجازه داده میشود تا درآموزش شبکه شرکت نمایند. وزنهایی که عملکرد آنها در این مدت مناسب نیست جریمه میشوند، وزنهایی که عملکرد آنها خیلی خوب است پاداش میگیرند و وزنهایی که در مورد آنها نمیتوان تصمیم گیری قطعی نمود بدون تغییر وضعیت باقی میمانند. برای تشخیص خوب یا بد بودن عملکرد یک وزن از قدرت انتشار این وزن (قدر مطلق مقدار وزن) استفاده میشود که توسط دو قانون مکاشفه ای زیر بیان میشود.

عملکرد خوب یک وزن: وزنی دارای عملکرد خوب میباشد که سیگنال وارد شده به این وزن بصیران زیادی تضعیف نگردد و یا به عبارتی دیگر قدر مطلق آن کوچک نباشد. این بدان معنی است که اطلاعات ذخیره شده در این وزن مهم میباشد.

عملکرد بدیک وزن: وزنی دارای عملکرد بداست اگر سیگنال وارد شده به این وزن بصیران زیادی تضعیف گردد و به عبارتی دیگر قدر مطلق آن کوچک باشد. این بدان معنی است که اطلاعات ذخیره شده در این وزن احمد هم نمیباشد.

تشخیص نحوه عملکرد یک وزن روشن: اگر طی یک دوره آموزش شبکه توسط الگوریتم یادگیری انتشار خطاب به عقب، قدر مطلق مقدار یک وزن از یک مقدار آستانه ای دیگر بیشتر باشد وزن را خوب مینامیم. مقدار آن از مقدار آستانه ای دیگر بیشتر باشد وزن را خوب مینامیم. برای تعیین مقادیر آستانه ای از واریانس قدر مطلق مقدار وزنهای استفاده میشود. بدلیل اینکه در مرحله اول این الگوریتم، الگوریتم بقا تعداد واحدهای مخفی شبکه را تعیین کرده است و در اینجا تنها هدف تعیین اتصال وزنهای بین لایه ورودی و لایه مخفی است لذا برای محاسبه واریانس قدر مطلق مقدار وزنهای خاموش و برای وزنهای متصل به هر یک از واحدهای مخفی روشن، وزنهای روشنی که قدر مطلق مقدار آنها از یک مقدار آستانه ای کمتر باشد جریمه میشوند و وزنهای روشنی که قدر مطلق مقدار آنها از یک مقدار آستانه ای دیگر بیشتر باشد پاداش میگیرند و وزنهای روشنی که قدر مطلق مقدار آنها بین دو مقدار آستانه ای فوق قرار میگیرند تغییری در وضعیت آنها ایجاد نمیشود. (شکل ۱۰)



تغییر وضعیت باقی میمانند. برای تشخیص خوب یا بد بودن عملکردیک وزن از دو قانون مکاشفه ای بیان شده در الگوریتم ۱ استفاده شده است.

### algorithm \_1

#### Input:

Training Set  $(X, T)$ ,  $X$  is input and  $T$  is desired output  
Maximum No. of Hidden Units:  $H_{max}$

#### Output:

Network Weight Vector :  $W$   
Network Topology: ON,  $ON_w$

#### call Survival

#### repeat

// After K steps of BP weights are examined

for  $m := 1$  To  $K$  do

call BP

end for

for all  $h \in ON$  do

if  $w \in OFF_w$  then

$w = w * \lambda_d$

Compute  $X_{ON}$ ,  $X_{OFF}$

if  $w \in OFF_w$  then

if  $abs(w) < (\mu_{OFF} - X_{OFF})$  then RewardOFFWeight( $w$ )

if  $abs(w) > (\mu_{OFF} + X_{OFF})$  then PenalizeOFFWeight( $w$ )

else

if  $abs(w) < (\mu_{ON} - X_{ON})$  then PenalizeOnWeight( $w$ )

if  $abs(w) > (\mu_{ON} + X_{ON})$  then RewardOnWeight( $w$ )

end for

if unit  $h$  has only bias weight then

remove this weight and its unit and change the output units biases

end for

until

end

procedure PenalizeOnWeight ( $I$ )  
inc (State ( $I$ ))  
end procedure

procedure RewardOnWeight ( $I$ )  
if State ( $I$ ) > 1 then  
dec (State ( $I$ ))  
end if  
end procedure

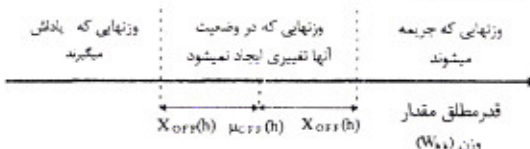
procedure PenalizeOffWeight ( $I$ )  
if State ( $I$ ) ≠ 2 \* N then  
inc (State ( $I$ ))  
else  
State ( $I$ ) := N  
end if  
end procedure

procedure RewardOffWeight ( $I$ )  
if State ( $I$ ) ≠ N + 1 then  
dec (State ( $I$ ))  
end if  
end procedure

شکل ۱۲: الگوریتم ۱

تذکر ۱: در بسیاری از کاربردها ممکن است یک واحد مخفی مسئول پردازش قسمتی از الگوی ورودی باشد. مثلاً در شناسایی نویز حروف، یک واحد مخفی ممکن است پردازش تابعی کوچکی از تصویر حرف را عهده دار باشد. اگر قسمتی از تصویر برای همه حروف یکسان باشد در فرایند شناسایی بی تاثیر خواهد بود بعنوان مثال در شناسایی اعداد فارسی ۱، ۲، ۳، ۴ نیمه بایین تصاویر اعداد یکسان است و هیچ تاثیری

بین دو مقدار آستانه ای فوق قرار میگیرند تغییری در وضعیت آنها ایجاد نمیشود. (شکل ۱۲)



شکل ۱۲: تشخیص مقدار آستانه وزنهای خاموش

در شکل فوق پنهانی خاموشی نامیده میشود بصورت زیر محاسبه میگردد.

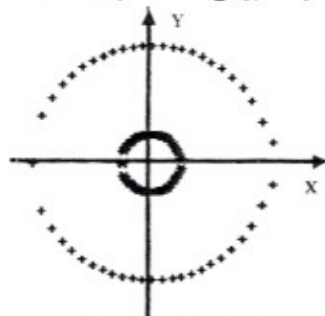
$$X_{OFF}(h) = \lambda_{OFF} \frac{|ON_w(h)|}{\#INPUT + 1}$$

که ثابت  $\lambda_{OFF}$  ضریب پنهانی خاموشی و  $\#INPUT$  تعداد واحدهای لایه ورودی است. وزنهایی که قدر مطلق مقدار آنها از  $X_{OFF}(h)$ - $\mu_{OFF}(h)$  کمتر باشد پاداش میگیرند. وزنهایی که قدر مطلق مقدار آنها از  $X_{OFF}(h)$ + $\mu_{OFF}(h)$  بیشتر باشند جریمه میشوند. وزنهایی که قدر مطلق مقدار آنها را بین  $X_{OFF}(h)$ - $\mu_{OFF}(h)$  و  $X_{OFF}(h)$ + $\mu_{OFF}(h)$  قراردارد وضعیت آنها تغییر نمیکند. زمانیکه یک وزن از حالت خاموش به حالت روشن مبدل مقدار آن بصورت تصادفی مقداردهی میگردد. این الگوریتم در شکل ۱۲ نشان داده است. در الگوریتم ۱، الگوریتم زمانبندی در ابتدا اتوماتان تعیین تعداد واحدهای لایه مخفی را روشن و اتوماتان تعیین تعداد واحدهای لایه مخفی اتوماتان تعیین تعداد واحدهای لایه مخفی خاموش و اتوماتان تعیین تعداد وزنهای لایه مخفی شبکه را روشن میکند. در بعضی از مواقع وبالاستفاده از اطلاعات موجود در باره مسئله، تعداد تقریبی واحدهای لایه مخفی را میتوان از قبل تعیین نمود و بهمین دلیل مرحله تعیین تعداد واحدهای لایه مخفی مورد نیاز نخواهد بود. در الگوریتم ۲ این مسئله مدنظر گرفته شده است.

الگوریتم ۲: در صورتیکه تعداد تقریبی واحدهای لایه مخفی از قبل مشخص باشد میتوانیم از شکل خلاصه تری از الگوریتم ۱ استفاده نماییم و ساختار شبکه را تعیین کنیم. الگوریتم ۲ حالت خاصی از الگوریتم ۱ است که در آن اتوماتان تعیین تعداد واحدهای لایه مخفی همیشه خاموش است. معیار تشخیص خوب یا بد بودن عملکردیک وزن و همجنین نحوه جریمه کردن و پاداش دادن به یک وزن همانند الگوریتم ۱ است.

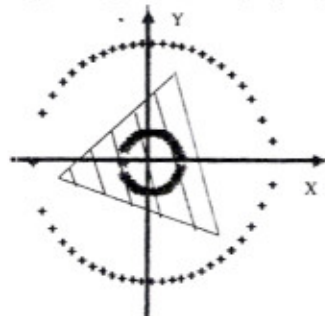
الگوریتم ۳: این الگوریتم در یک مرحله تعداد وزنهای را تعیین میکند. در این الگوریتم برای تعیین اهمیت هر وزن ورودی یک واحد مخفی آن وزن باکلیه وزنهای ورودی واحدهای روشن موجود در لایه مخفی شبکه مقایسه میگردد. در این الگوریتم حذف یک واحد بطور غیر مستقیم از طریق حذف وزنهای آن انجام خواهد گرفت در صورتیکه در الگوریتمهای ۱ و ۲ برای تعیین اهمیت یک وزن، مقدار آن وزن با مقدار وزنهای ورودی همان واحد مقایسه میگردد. در این الگوریتم، در ابتدا همه وزنهای موجود در شبکه در وضعیت  $\Phi$  اتوماتان HWLA قرار میگیرند و به همه وزنهای روشن مدتی اجازه داده میشود تا درآموزش شبکه شرکت نمایند. وزنهایی که عملکرد آنها در این مدت مناسب نبوده جریمه میشوند، وزنهایی که عملکرد آنها خیلی خوب بوده پاداش میگیرند و وزنهایی که در مورد آنها نمیتوان تصمیم گیری قطعی نمود بدون

شبکه عصبی سلاید با حداقل دو واحد مخفی و ۴ اتصال مورد نیاز میباشد (کمنواحی تولید شده توسط چنین شبکه‌ای در شکل ۵ نشان داده شده است). ب) دسته بندی دو دسته از الگوهای در این مسئله دو دسته الگو وجود دارد که در شکل ۱۵ توسط علامت  $+^*$  و  $-^*$  نشان داده شده اند و بر ترتیب روی دایرهایی به شعاع های  $0^{\circ}/15^{\circ}$  و  $2^{\circ}$  توزیع شده اند. الگوها توسط دو ویژگی  $X$  و  $Z$  نمایش داده شوند و این دو ویژگی ورودی‌های شبکه عصبی را تشکیل میدهند [۵۲]. هر دسته از این الگوها دارای ۲۰۰ نمونه میباشد که ۱۰۰ نمونه از آنها برای مجموعه آموزشی و از ۱۰۰ نمونه دیگر برای نمونه آموزشی استفاده گردیده است.



شکل ۱۵: الگوهای مثال ۲

این دسته‌های بصورت خطی از هم جدا نیستند و برای جداسازی آنها یک شبکه عصبی سلاید با حداقل ۳ واحد مخفی و ۶ اتصال مورد نیاز میباشد (که نواحی تولید شده توسط چنین شبکه‌ای در شکل ۱۶ نشان داده شده است).



شکل ۱۶: خط‌های جدا کننده الگوهای مثال ۲

ج) مسئله تشخیص اعداد چاپی فارسی: در این مسئله تشخیص اعداد چاپی فارسی (شکل ۱۷) مد نظر میباشد که روی یک صفحه کاغذ چاپ شده اند. اعداد فارسی از طریق یک دستگاه پوشاک و با قدرت تفکیک ۳۰۰ نقطه در اینچ نمونه برداری گردیده است. از هر حرف ۱۷ نمونه وجود دارد که از ۱۶ نمونه برای مجموعه آموزشی و از ۱ نمونه دیگر برای مجموعه آزمایشی استفاده شده است.

**۰۱۲۳۴۵۶۷۸۹**

شکل ۱۷: اعداد چاپی فارسی

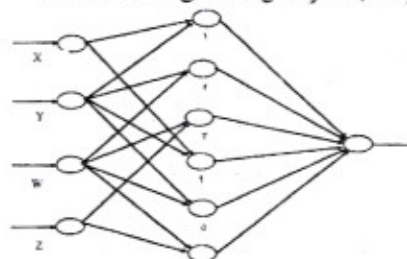
پس از جداسازی حروف در تصویر، ثابت‌های گشتاوری  $M_1$  تا  $M_{16}$  استخراج شده است و این ۷ ویژگی ورودی‌های شبکه عصبی را تشکیل میدهند [۴۸].

د) مسئله تشخیص اعداد لاتین: در این مسئله ده عدد وجود دارد که هر کدام از آنها توسعه یک ماتریس  $8 \times 8$  از نقطه‌های سیاه و سفید نشان داده میشود [۳۴].

الگوهای آموزشی برای این مسئله در شکل ۱۸ نشان داده شده است.

در ادامه نتایج شبیه‌سازی‌های انجام گرفته شده برای مسئله‌های فوق آورده شده است.

در شناسایی ندارد بنابراین واحدهای مخفی برای شناسایی این اعداد نیاز به پردازش این ناحیه از تصویر ندارند. بطور مثال برای شناسایی دو عدد ۳ و ۴ از بین اعداد فوق، واحد مخفی که باید ۴ را شناسایی می‌کند می‌بایست ناحیه‌ای را پردازش نماید که واحد مخفی تشخیص دهنده عدد ۳ برای تشخیص ۳ بدان نیاز ندارد. اتصالات در چنین شبکه‌ای کامل نیست و تنها تعدادی از اتصالات بین لایه ورودی و لایه مخفی موجود است. چنین شبکه‌ای را شبکه با اتصالات محلی<sup>۱</sup> میگویند. یک نمونه از این‌گونه شبکه در شکل ۱۴ نشان داده شده است.



شکل ۱۴: شبکه با اتصالات محلی

در شبکه شکل ۱۴ واحد شماره ۱ دو وزن ورودی به دو واحدهای  $X$  و  $Z$  دارد و وزنهای ورودی آن به واحد شماره ۱ حذف شده است و این بدان معنی است که واحد شماره ۱ تنها این ناحیه از ورودی ( $X$  و  $Y$ ) را پردازش میکند. این نوع شبکه‌ها ممکن است دارای تعداد واحدهای مخفی بیشتری نسبت به شبکه‌های کاملاً متصل باشد اما دارای تعداد وزنهای کمتر و قدرت تعمیم بیشتری هستند زیرا خروجی هر واحد مخفی به تعداد متغیر کمتری وابسته است و هموار تر است و در نتیجه قدرت تعمیم آن بیشتر است [۵۲]. این مسئله در الگوریتم ۲ (وقتی که تعداد واحدهای مخفی حدس زده شده زیاد باشد) و الگوریتم ۳ مد نظر میباشد. در این حالت وزنهای از لایه مخفی شبکه حذف میگردند که ورودی برای آن وزنهای در بیشتر الگوهای ورودی تقریباً یکسان باشد. نتایج آزمایشات که در قسمت بعد به آن مبادرایی می‌دهند که هر سه الگوریتم ارایه شده، شبکه‌هایی با اتصالات محلی تولید میکنند. نتایج آزمایشات همچنین نشان میدهند که تعداد واحدهای مخفی که الگوریتم شماره ۱ تعیین میکند بمراتب کمتر از واحدهای مخفی تعیین شده توسط الگوریتم‌های ۲ و ۳ میباشد.

#### ۶- نتایج شبیه‌سازیها

در این قسمت چهار مسئله نمونه که الگوریتم‌های بیشنهادی روی آنها پیاده سازی شده است معرفی میگردد و سپس نتایج آزمایشات ارایه میشود.

الف) دسته بندی چهار دسته از الگوها: در این مسئله چهار دسته الگو (که در شکل ۲ با علامت  $+, ^*$ ,  $-^*$  نشان داده شده اند) وجود دارد که هر الگو توسط دو ویژگی  $X$  و  $Z$  نمایش داده می‌شوند و این دو ویژگی ورودی‌های شبکه را تشکیل میدهند [۵۲]. هر دسته از این الگوها ۱۵ نمونه هستند که ۱۰ نمونه از آنها برای مجموعه آموزشی و از ۵ نمونه دیگر برای مجموعه آزمایشی استفاده گردیده است. این دسته ها بصورت خطی از هم جدا نیستند و برای جدا سازی آنها یک

**دسته‌بندی دو دسته از الگوهای الگوریتم ۱ روی ۶ شبکه بازندهای اولیه**  
 تصادفی آزمایش شده و نتایج آن در جدول ۲ نشان داده شده است. برای انجام این آزمایش‌ها از اتوماتان (2, 7, N<sub>w</sub>)-HWLA استفاده شده است. نتعداد وزنهای شبکه در پایان الگوریتم بقا می‌باشد. برای انجام این آزمایش‌ها، نرخ یادگیری برابر ۰/۰۰۰۰، ضربی گشتاور برابر صفر، ضربی کاهش وزن برابر ۰/۹، ضربی پهنای خاموشی برابر ۰/۰۰۰۰ و ضربی پهنای خاموشی برابر ۰/۰۰۰۰ در نظر گرفته شده است.

جدول ۲: نتیجه الگوریتم ۱ برای مسئله ۲

(الف) ساختار شبکه پس از پایان مرحله تعیین واحدهای مخفی

درصد تشخیص (آزمایشی)	درصد تشخیص (آموزش)	تعداد وزنهای لایه مخفی	واحد مخفي	شبکه
۱۰۰	۱۰۰	۲۱	۷	۱
۱۰۰	۱۰۰	۲۶	۱۲	۲
۱۰۰	۱۰۰	۲۴	۸	۳
۱۰۰	۱۰۰	۱۵	۵	۴
۱۰۰	۱۰۰	۲۴	۸	۵
۱۰۰	۱۰۰	۱۲	۴	۶
۱۰۰	۱۰۰	۲۲	۷/۲	متوسط

(ب) ساختار شبکه پس از پایان مرحله تعیین وزنهای

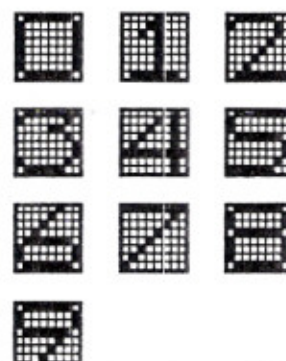
درصد تشخیص (آزمایشی)	درصد تشخیص (آموزش)	تعداد وزنهای لایه مخفی	واحد مخفي	شبکه
۱۰۰	۱۰۰	۸	۴	۱
۱۰۰	۱۰۰	۹	۶	۲
۱۰۰	۱۰۰	۱۰	۵	۳
۱۰۰	۱۰۰	۸	۴	۴
۱۰۰	۱۰۰	۹	۵	۵
۱۰۰	۱۰۰	۵	۴	۶
۱۰۰	۱۰۰	۸/۱۶	۴/۶	متوسط

**مسئله تشخیص اعداد چاپی فارسی: الگوریتم ۱ روی ۶ شبکه بازندهای اولیه**  
 تصادفی آزمایش گردیده و نتایج آن در جدول ۳ نشان داده شده است. برای تمامی این شبکه‌های اتوماتان (2, 7, N<sub>w</sub>)-HWLA (2, 7, 39)-HULA استفاده شده است. نتعداد وزنهای شبکه در پایان الگوریتم بقا می‌باشد. برای انجام آزمایش‌های مختلف، نرخ یادگیری برابر ۰/۰۰۰۰، ضربی گشتاور برابر ۰/۰۵، ضربی کاهش وزن برابر ۰/۹، ضربی پهنای روشی برابر ۰/۰۰۰۰، و ضربی پهنای خاموشی برابر ۰/۰۰۰۰ در نظر گرفته شده است.

جدول ۳: نتیجه الگوریتم ۱ برای مسئله ۳

(الف) ساختار شبکه پس از پایان مرحله تعیین واحدهای مخفی

درصد تشخیص (آزمایشی)	درصد تشخیص (آموزش)	تعداد وزنهای لایه مخفی	واحد مخفي	شبکه
۱۰۰	۹۹/۳۷۵	۸۰	۱۰	۱
۱۰۰	۹۶/۸۷۵	۶۴	۸	۲
۱۰۰	۹۶/۸۷۵	۶۴	۸	۳
۹۰	۸۷/۷۵	۵۶	۷	۴
۱۰۰	۹۹/۳۷۵	۸۸	۱۱	۵
۸۰	۸۲/۷۵	۵۶	۷	۶
۹۵	۹۴	۶۸	۸/۵	متوسط



شکل ۱۸: الگوهای آموزشی برای مسئله تشخیص اعداد لاتین

(الف) الگوریتم ۱: این الگوریتم همانطور که قبل اشاره شد از مرحله تعیین

تعداد واحدهای لایه مخفی و تعیین تعداد وزنهای لایه مخفی تشکیل شده است.

الگوریتم ۱ روی مسائل فوق بیان شده و نتایج آزمایش‌های این الگوریتم در جداول ۱ تا ۴ آورده شده است. قسمت (الف) جداول ۱ تا ۴ شبکه‌های تولید شده توسط الگوریتم بقا

و قسمت (ب) این جداول نتیجه تولید شده بعد از مرحله دوم الگوریتم ۱ را نشان میدهد لازم بذکر است که در تمامی آزمایش‌های انجام گرفته توسط

الگوریتم ۱، مجموعه الگوهای آموزش ۱۰۰۰۰ شبکه‌های داده شده است.

**دسته‌بندی چهار دسته از الگوها: الگوریتم ۱ روی ۶ شبکه بازندهای اولیه**

تصادفی آزمایش شده و نتایج آن در جدول ۱ نشان داده شده است. برای تمامی

این شبکه‌های اتوماتان (2, 7, N<sub>w</sub>)-HWLA (2, 7, 39)-HULA استفاده شده است. نتعداد وزنهای شبکه در پایان الگوریتم بقا می‌باشد. لازم

بذکر است که برای انجام آزمایش‌های مختلف، نرخ یادگیری برابر ۰/۰۰۰۰، ضربی گشتاور برابر صفر، ضربی کاهش وزن برابر ۰/۹، ضربی پهنای روشی

برابر ۱۲، و ضربی پهنای خاموشی برابر ۰/۰۰۰۰ در نظر گرفته شده است.

جدول ۱: نتیجه الگوریتم ۱ برای مسئله ۱

(الف) ساختار شبکه پس از پایان مرحله تعیین واحدهای مخفی

درصد تشخیص (آزمایشی)	درصد تشخیص (آموزش)	تعداد وزنهای لایه مخفی	واحد مخفي	شبکه
۱۰۰	۱۰۰	۲۱	۷	۱
۱۰۰	۱۰۰	۳۶	۱۲	۲
۱۰۰	۱۰۰	۲۴	۸	۳
۱۰۰	۱۰۰	۲۲	۱۱	۴
۱۰۰	۱۰۰	۱۵	۵	۵
۱۰۰	۱۰۰	۱۲	۴	۶
۱۰۰	۱۰۰	۲۲/۵	۷/۸	متوسط

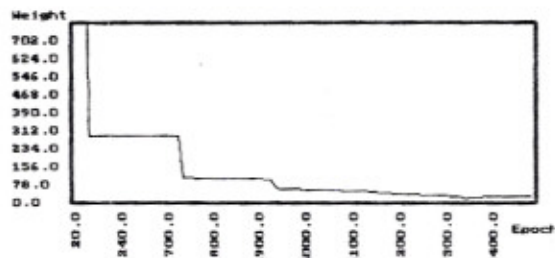
(ب) ساختار شبکه پس از پایان مرحله تعیین وزنهای

درصد تشخیص (آزمایشی)	درصد تشخیص (آموزش)	تعداد وزنهای لایه مخفی	واحد مخفي	شبکه
۱۰۰	۱۰۰	۸	۴	۱
۱۰۰	۱۰۰	۹	۶	۲
۱۰۰	۱۰۰	۱۰	۵	۳
۱۰۰	۱۰۰	۱۱	۶	۴
۱۰۰	۱۰۰	۸	۴	۵
۱۰۰	۱۰۰	۵	۴	۶
۱۰۰	۱۰۰	۸/۵	۴/۸	متوسط

جدول ۴(ادامه): نتیجه الگوریتم ۱ برای مسئله ۴  
ب) ساختار شبکه پس از پایان مرحله تعیین وزنهای

درصد تشخیص (آزمایشی)	درصد تشخیص (آموزشی)	تعداد وزنهای لایه مخفی	واحد مخفي	شبکه
۱۰۰	۱۰۰	۲۶	۱۲	۱
۱۰۰	۱۰۰	۲۷	۷	۲
۹۰	۱۰۰	۵۱	۹	۳
۱۰۰	۱۰۰	۵۶	۱۳	۴
۱۰۰	۱۰۰	۵۸	۱۱	۵
۱۰۰	۱۰۰	۵۶	۱۲	۶
۱۰۰	۱۰۰	۴۵/۲۲	۱۰/۸۲	متوجه

شکل ۲۰ منحنی تغییرات تعداد وزنهای لایه مخفی شبکه را براساس تکرار ارایه الگو برای شبکه شماره ۱ جدول ۴ ب نشان میدهد.



شکل ۲۰: تغییرات تعداد وزنهای لایه مخفی شبکه براساس تکرار ارایه الگو

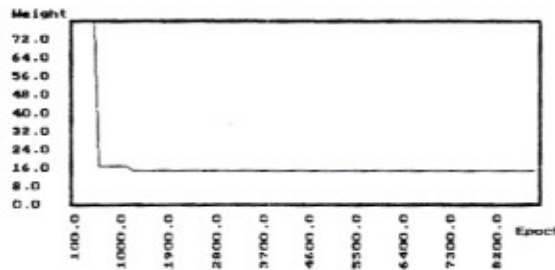
همانطور که در جداول فوق مشخص است تعداد وزنهای پس از مرحله تعیین تعداد وزنهای لایه مخفی سیار کمتر از تعداد وزنهای پس از مرحله تعیین واحد های لایه مخفی مبایش و همچنین قدرت تعیین شبکه در پایان مرحله تعیین وزنهای نیز در بیشتر موارد بیشتر از قدرت تعیین شبکه در پایان مرحله تعیین واحد های لایه مخفی نیز در بیشتر موارد بیشتر از قدرت تعیین شبکه در پایان مرحله تعیین واحد های لایه مخفی می باشد. این بدان دلیل است که با کاهش نسبت متوسط تعداد وزن بر واحد مخفی، ابر صفحه های تولید شده توسط واحد های تعداد وزن بر واحد مخفی، ابر صفحه های تولید شده توسط واحد های مخفی سیار هموار میگردد. نکته جالب دیگری که از جداول فوق مشخص است تعداد متوسط وزنهای متصل به هر واحد مخفی میباشد. در مسئله ۱ و ۲ همه واحد های مخفی کمتر از ۳ وزن ورودی دارند و در مسئله ۱ بیشتر خطوط تولید شده توسط واحد های مخفی موازی یکی از دو محور می باشد و تعداد کمی از آنها خطوط مورب هستند که در دسته بندی الگوهای تدارند. در مسئله ۲ هر واحد مخفی تقریباً ۲ وزن دارد یعنی هر واحد مخفی بطور متوسط بیشتر از زمینی از ویژگی هایی که برای شناسایی در نظر گرفته شده است استفاده نمیکند. در مورد مسئله ۴ نسبت متوسط تعداد وزن بر واحد مخفی برای آزمایش های مختلف، متفاوت می باشد: شبکه های تولید شده توسط الگوریتم یک این واقعیت را نشان می دهند که بیشتر ویژگی های مربوط به الگوها (ورودی های شبکه عصبی)، برای شناسایی مورد استفاده قرار نمی گیرند.

ب) الگوریتم ۲: الگوریتم ۲ شکل خلاصه تری از الگوریتم ۱ است که در آن تعداد واحد های مخفی بصورت تقریبی و در ابتدا توسط طراح شبکه مشخص میگردد. این الگوریتم فقط طریقه اتصال بین لایه ورودی و لایه مخفی را تعیین میکند. در این الگوریتم تعیین تعداد واحد های لایه مخفی بطور غیر مستقیم و از طریق تعیین تعداد وزنهای لایه مخفی شبکه انجام میگیرد. این الگوریتم نیز مانند الگوریتم ۱ شبکه ای

جدول ۳(ادامه): نتیجه الگوریتم ۱ برای مسئله ۳  
ب) ساختار شبکه پس از پایان مرحله تعیین وزنهای

درصد تشخیص (آزمایشی)	درصد تشخیص (آموزشی)	تعداد وزنهای لایه مخفی	واحد مخفي	شبکه
۱۰۰	۹۹/۳۷۵	۱۵	۸	۱
۱۰۰	۹۵/۰	۲۶	۸	۲
۱۰۰	۹۵/۶۲۵	۲۶	۸	۳
۱۰۰	۹۶/۸۷۵	۱۸	۷	۴
۱۰۰	۹۹/۳۷۵	۱۸	۹	۵
۱۰۰	۹۶/۸۷۵	۱۸	۷	۶
۱۰۰	۹۷/۱۸۷	۲۰/۱۶	۷/۸۲۲	متوجه

شکل ۱۹ منحنی تغییرات تعداد وزنهای لایه مخفی شبکه را براساس تکرار ارایه الگو<sup>۱</sup> برای شبکه شماره ۱ جدول ۳ ب نشان میدهد.



شکل ۱۹: تغییرات تعداد وزنهای لایه مخفی شبکه براساس تکرار ارایه الگو  
مسئله تشخیص اعداد لاتین: الگوریتم ۱ روی ۶ شبکه با وزنهای اولیه تصادفی آزمایش شده اند و نتایج آن در جدول ۴ نشان داده شده است. برای انجام آزمایش های انجام شده از اتماتان (N<sub>w</sub>, 20, 60)-HWLA (2, 20, N<sub>w</sub>) تعداد وزنهای شبکه در پایان الگوریتم مقایسه شد. استفاده گردیده است. نتایج تعداد وزنهای شبکه در پایان الگوریتم مقایسه شد. لازم بذکر است که برای انجام آزمایش های مختلف، فرخ بادگیری برابر ۱/۰۰، ضریب گشتوار بر اصفر، ضریب کاهش وزن برابر ۰/۹، ضریب پهنای روشی ۰/۰۱، و ضریب پهنای خاموشی برابر ۰/۱ در نظر گرفته شده است.

جدول ۴: نتیجه الگوریتم ۱ برای مسئله ۴  
الف) ساختار شبکه پس از پایان مرحله تعیین واحد های مخفی

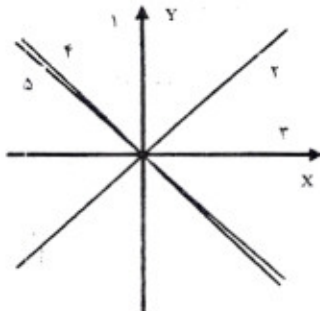
درصد تشخیص (آزمایش)	درصد تشخیص (آموزش)	تعداد وزنهای لایه مخفی	واحد مخفي	شبکه
۱۰۰	۱۰۰	۷۸۰	۱۲	۱
۱۰۰	۱۰۰	۴۵۵	۷	۲
۱۰۰	۱۰۰	۵۸۵	۹	۳
۱۰۰	۱۰۰	۸۴۵	۱۳	۴
۱۰۰	۱۰۰	۷۱۵	۱۱	۵
۱۰۰	۱۰۰	۸۴۵	۱۳	۶
۱۰۰	۱۰۰	۷۰۴/۱۶	۱۰/۸۲	متوجه

1- Epoch

بین لایه ورودی و لایه مخفی که در ابتدای مقاله بدان اشاره شد) را تولید نکرده‌اند. علت این امر آنست که تعداد زیادی از واحدهای مخفی خروجی‌های مشابه‌ای را تولید می‌کنند و بهمین دلیل تعدادی از واحدهای مخفی زائد هستند. برای مثال شبکه‌شماره ۱ در جدول ۵-الف در نظر بگیرید. ماتریس وزنهای لایه مخفی در پایان اجرای الگوریتم این شبکه به صورت زیر می‌باشد.

$$W = \begin{bmatrix} 0 & 0 & -2.44 \\ 0 & 3.124 & -2.68 \\ 0 & -1.69 & 0 \\ 0 & -3.01 & -2.69 \\ 0 & -1.62 & -1.16 \end{bmatrix}$$

در ماتریس فوق عنصر  $w_{j0}$  مقدار آستانه واحد مخفی شماره  $j$  عنصر  $w_{jm}$  وزن اتصال واحد مخفی شماره  $j$  به واحد ورودی  $m$  می‌باشد. در این شبکه واحد ورودی ۱ ویزگی  $x$  و واحد ورودی ۲ ویزگی  $y$  را نشان میدهدند. خطوط تولید شده توسط واحد های مخفی این شبکه در شکل ۲۱ نشان داده شده است.



شکل ۲۱: خطوط تولید شده توسط واحد های مخفی شبکه ۱

در شکل ۲۱ خط شماره ۱ و ۲ بترتیب روی محورهای  $y$  و  $x$  قرار گرفته‌اند). با توجه به شکل فوق خطوط با شماره های ۳ و ۴ و ۵ بسیار نزدیک بهم هستند. این بدان معنی است که اطلاعات تقریباً یکسانی در وزنهای آنها ذخیره شده است (این دو واحد دارای واریانس فعالیت بالا و وزنهای با مقادیر بزرگ می‌باشند) و بهمین دلیل میتوان یکی از این دو واحد را حذف نمود. در نتیجه شبکه هرس شده دارای ۴ واحد مخفی و ۶ اتصال خواهد بود. شبکه حاصله هنوز دارای دو واحد زائد با شماره های ۳ و ۴ می‌باشد که الگوریتم پیشنهادی با معیار بکار برده شده قادر به حذف آنها نشده است.

دسته‌بندی دودسته‌از الگوهای الگوریتم ۲ روی ۶ شبکه‌باوزنهای اولیه تصادفی آزمایش شده‌اند و نتایج آن در جدول ۶ نشان داده شده است. برای تمامی این شبکه‌هادر قسمت (الف) از اتماتان (18، 7، 2) HWLA و در قسمت (ب) از اتماتان (180، 7، 2) HWLA استفاده شده است. نرخ بادگیری برابر  $10^{-11}$ ، ضریب گشتاور برابر صفر، ضریب کاهش وزن  $10^{-9}$ ، ضریب پهنهای روشنی برابر ۱۲، و ضریب پهنهای خاموشی برابر ۱۲ می‌باشد.

با اتصالات محلی تولید می‌کند اگر تعداد واحدهای مخفی اولیه برای دو الگوریتم یکسان باشد تعداد واحدهای مخفی تعیین شده توسط الگوریتم ۲ براتر بیشتر از تعداد واحدهای مخفی تعیین شده توسط الگوریتم ۱ می‌باشد این بدان دلیل است که حذف واحدهای لایه مخفی بطور غیر مستقیم از طریق حذف وزنهای لایه مخفی انجام می‌گیرد. الگوریتم ۲ روی چهار مسئله تعریف شده پیاده‌سازی شده و نتایج آزمایشات در جداول ۵ تا ۸ آورده شده است. برای آزمایشاتی که نتایج آنها در قسمت (الف) جداول ۵ تا ۸ آمده است تعداد واحدهای مخفی اولیه نسبت به تعداد واحدهای اولیه الگوریتم ۱ کوچک در نظر گرفته شده است. برای آزمایشاتی که نتایج آنها در قسمت (ب) جداول ۵ تا ۸ آمده است تعداد واحدهای مخفی اولیه الگوریتم ۲ مساوی تعداد واحدهای مخفی اولیه الگوریتم ۱ انتخاب شده است. لازم بذکر است که در تمامی آزمایشهای زیر ۱۰۰۰۰ بار مجموعه آموزشی به شبکه ارایه شده است.

**دسته‌بندی چهار دسته از الگوهای الگوریتم ۲ روی ۶ شبکه‌باوزنهای اولیه تصادفی آزمایش شده‌اند و نتایج آن در جدول ۵ نشان داده شده است. برای تمامی این شبکه‌هادر جدول ۵-الف از اتماتان (18، 7، 2) HWLA و در جدول ۵-ب از اتماتان (2, 7, 117) HWLA استفاده شده است. نرخ بادگیری برابر  $10^{-11}$ ، ضریب گشتاور برابر صفر، ضریب کاهش وزن  $10^{-9}$ ، ضریب پهنهای روشنی برابر ۱۲، و ضریب پهنهای خاموشی برابر ۱۲ می‌باشد.**

جدول ۵: نتیجه شبیه سازی الگوریتم ۲ برای مثال ۱

(الف) نتیجه الگوریتم ۲ برای مثال ۱ برای اتماتان (2, 7, 18)

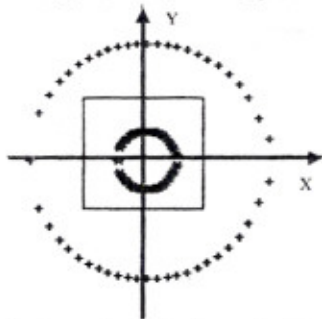
شبکه	واحد مخفی	تعداد وزنهای لایه مخفی	درصد تشخیص (آموزش)	درصد تشخیص (آزمایش)
۱	۴	۵	۱۰۰	۱۰۰
۲	۶	۷	۱۰۰	۱۰۰
۳	۶	۷	۱۰۰	۱۰۰
۴	۴	۶	۱۰۰	۱۰۰
۵	۵	۶	۱۰۰	۱۰۰
۶	۶	۶	۱۰۰	۱۰۰
متوسط	۵/۸۳	۶	۱۰۰	۱۰۰

(ب) نتیجه الگوریتم ۲ برای مثال ۱ برای اتماتان (2, 7, 117)

شبکه	واحد مخفی	تعداد وزنهای لایه مخفی	درصد تشخیص (آموزش)	درصد تشخیص (آزمایش)
۱	۲۶	۴۹	۱۰۰	۱۰۰
۲	۱۴	۱۸	۱۰۰	۱۰۰
۳	۱۸	۱۹	۱۰۰	۱۰۰
۴	۱۵	۲۰	۱۰۰	۱۰۰
۵	۱۹	۲۵	۱۰۰	۱۰۰
۶	۲۲	۴۲	۱۰۰	۱۰۰
متوسط	۱۹	۳۰/۵	۱۰۰	۱۰۰

با مقایسه جداول ۱ و ۵ میتوان به نکات جالب توجه ای اشاره نمود. اول آنکه متوسط تعداد وزن ورودی بر هر واحد مخفی در الگوریتم ۱ و الگوریتم ۲ تقریباً مساوی است. دوم آنکه هیچکدام از شبکه‌های سازیها، شبکه با ساختار پهنه‌ای (شبکه سه لایه با دو واحد مخفی و چهار وزن

هستند که هر کدام از آنها یکی از چهار خط زیر را تولید می‌کنند و الگوریتم قادر به تشخیص و حذف واحدهای تکراری نیست.



شکل ۲۲: نواحی تولید شده برای شبکه‌های جدول ۶-ب برای مثال ۲

**مسئله تشخیص اعداد چاپی فارسی:** الگوریتم ۲ روی شبکه با وزنهای اولیه تصادفی آزمایش شده‌اند و نتایج آن در جدول ۷ نشان داده شده است. برای تمامی این شبکه‌های برای قسمت (الف) از اتماتان (2, 7, 120) HWLA و برای قسمت (الف) از اتماتان (2, 7, 480) HWLA استفاده شده است. برای انجام این آزمایشها، نرخ یادگیری برابر ۰/۰۱، ضریب گشاویر برابر صفر، ضریب کاهش وزن برابر ۰/۹۰، ضریب پنهانی روشی برابر ۰/۱۵ و ضریب پنهانی خاموشی برابر ۰/۱۵ در نظر گرفته شده است.

جدول ۷: نتیجه شبیه سازی الگوریتم ۲ برای مثال ۲

الف) نتیجه الگوریتم ۲ برای مثال ۳ برای اتماتان (2, 7, 120) HWLA

شبکه	واحد مخفی	تعداد وزنهای لایه مخفی	درصد تشخیص (آزمایش)	درصد تشخیص (آموزش)
۱	۱۴	۶۱	۹۸/۷۵	۱۰۰
۲	۱۵	۶۲	۹۸/۱۲۵	۱۰۰
۳	۱۵	۷۰	۹۹/۲۷۵	۱۰۰
۴	۱۵	۶۱	۹۹/۳۷۵	۱۰۰
۵	۱۵	۶۰	۹۹/۳۷۵	۱۰۰
۶	۱۵	۷۴	۹۸/۷۵	۱۰۰
متوسط	۱۴/۸۲	۶۴/۶۶	۹۸/۹۵	۹۸/۷۵

ب) نتیجه الگوریتم ۲ برای مثال ۳ برای اتماتان (2, 7, 480) HWLA

شبکه	واحد مخفی	تعداد وزنهای لایه مخفی	درصد تشخیص (آزمایش)	درصد تشخیص (آموزش)
۱	۲۸	۸۲	۱۰۰	۱۰۰
۲	۳۵	۹۸	۱۰۰	۱۰۰
۳	۳۰	۶۵	۱۰۰	۱۰۰
۴	۲۵	۶۸	۹۹	۱۰۰
۵	۳۴	۹۰	۱۰۰	۱۰۰
۶	۳۰	۷۰	۱۰۰	۱۰۰
متوسط	۳۰/۳۳	۷۸/۸۲	۹۹/۸۴	۱۰۰

شکل ۲۲: منحنی تغییرات تعداد وزنهای لایه مخفی شبکه را براساس تکرار ارایه الگو برای شبکه شماره ۱ جدول ۷-الف نشان میدهد.

جدول ۶: نتیجه شبیه سازی الگوریتم ۲ برای مثال ۲

الف) نتیجه الگوریتم ۲ برای مثال ۲ برای اتماتان (2, 7, 180) HWLA

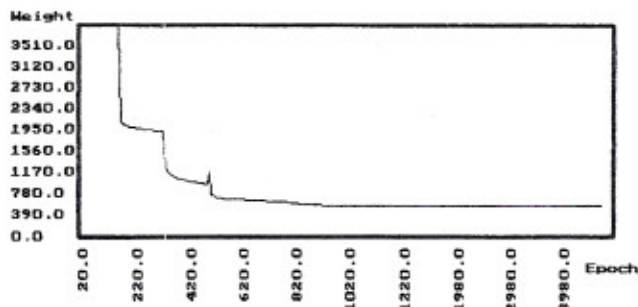
شبکه	واحد مخفی	تعداد وزنهای لایه مخفی	درصد تشخیص (آزمایش)	درصد تشخیص (آموزش)
۱	۵	۱۲	۱۰۰	۱۰۰
۲	۵	۱۱	۱۰۰	۱۰۰
۳	۵	۱۲	۱۰۰	۱۰۰
۴	۵	۱۲	۱۰۰	۱۰۰
۵	۴	۱۰	۱۰۰	۱۰۰
۶	۵	۱۲	۱۰۰	۱۰۰
متوسط	۴/۸۸	۱۱/۸۳	۱۰۰	۱۰۰

ب) نتیجه الگوریتم ۲ برای مثال ۲ برای اتماتان (2, 7, 180) HWLA

شبکه	واحد مخفی	تعداد وزنهای لایه مخفی	درصد تشخیص (آزمایش)	درصد تشخیص (آموزش)
۱	۴۸	۹۶	۹۸	۹۶
۲	۴۹	۷۸	۱۰۰	۱۰۰
۳	۴۸	۹۶	۱۰۰	۹۶
۴	۴۴	۸۸	۱۰۰	۱۰۰
۵	۴۲	۸۴	۱۰۰	۱۰۰
۶	۳۸	۷۶	۱۰۰	۹۶
متوسط	۴۲/۱۶	۸۶/۲۲	۹۹/۶۶	۹۹/۳۳

با توجه به جداول ۲ و ۶ میتوان به نکات زیر اشاره نمود. اول آنکه، نسبت متوسط تعداد وزن بر واحد مخفی در دو جدول مذکور تقریباً یکسان است. این نسبت در جداول ۲-ب و -۶-الف حدود دو و در جدول ۶-ب مساوی ۲ است. یعنی شبکه‌های آموزش داده شده در جدول ۶-ب از یکی از وزنهای ورودی خود (وزن آستانه، وزن متصل به ورودی X و یا وزن متصل به ورودی Y) برای شناسایی دسته‌ها از یکدیگر استفاده نمیکند. با توجه به ناحیه رسم شده در شکل ۱۶ که دوسته الگوها را از هم جدا می‌سازد میتوان نتیجه گرفت که این خطوط یا موازی یکی از دو محور (معادلات خطوط بفرم  $C = Y$  و یا  $C = X$ ) و یا مورب (معادلات خطوط بفرم  $C = mX + C$  و  $C = mY + C$ ) هستند. در صورتیکه معادله خط بصورت  $X = C$  باشد، واحد مخفی نیاز به دو وزن (وزن آستانه و وزن متصل به ورودی X) دارد و در حالتیکه معادله خط بصورت  $C = Y$  است واحد مخفی نیاز به دو وزن (وزن آستانه و وزن متصل به ورودی Y) دارد و در حالتیکه معادله خط بصورت  $C = mX + C = Y$  است واحد مخفی نیاز به سه وزن ورودی (وزن آستانه، وزن متصل به ورودی X و وزن متصل به ورودی Y) دارد. با توجه به آزمایش‌های انجام شده، واحدهای مخفی تحریبن شده عموماً یکی از دو خط  $C = X$  یا  $C = Y$  را نشان می‌دهند. ناحیه‌های تولید شده مطابق شکل ۲۲ خواهد بود. شبکه‌ای که این نواحی را تولید می‌کند بایستی حداقل چهار واحد مخفی داشته باشد. این ساختار از ساختار بهینه (شبکه عصبی سه لایه با ۳ واحد مخفی و ۸ اتصال) یک واحد مخفی بیشتر دارد اما تعداد وزنهای این دو شبکه یکسان است. اما شبکه‌های تولید شده دارای تعداد واحدهای بیشتری

شکل ۲۴ منحنی تغییرات تعداد وزنهای لایه مخفی شبکه را براساس تکرار ارایه الگو برای شبکه شماره ۱ جدول ۸ نشان میدهد.

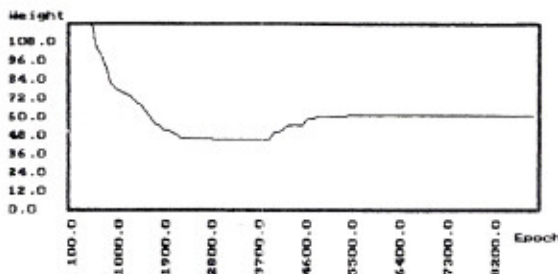


شکل ۲۴ : تغییرات تعداد وزنهای لایه مخفی شبکه براساس تکرار ارایه الگو

با توجه به جداول ۴-ب و ۸ نتایج زیر امیتوان گرفت. همانند مسائل قبل تعداد واحدهای مخفی تعیین شده توسط الگوریتم ۲ بمراتب بیشتر از تعداد واحدهای مخفی تعیین شده توسط الگوریتم ۱ می باشد. نکته دیگر اینکه شبکه های تولید شده توسط الگوریتم های ۱ و ۲ برای مسائل ۱ و ۲ تقریباً از سی درصد از ورودیهایش و برای مسئله ۳ بیشتر از نیمی از ورودیهایش و برای مسئله ۴ تقریباً از هشتاد درصد از ورودیهایش استفاده نمی کند. بنابراین میتوان انتظار داشت دو الگوریتم ۱ و ۲ برای شبکه هایی مناسب تر هستند که دارای ورودیهای زیادی باشند.

ج ) الگوریتم ۳: الگوریتم ۳ بمنظور تعیین تعداد وزنهای را بصورت عمومی با در نظر گرفتن همه وزنهای همه واحدهای مخفی روشن مقایسه میکند و بر اساس نتایج این مقایسه ها عمل افزایش یا کاهش تعداد وزنهای لایه مخفی را انجام می دهد. در این الگوریتم تعیین تعداد واحدهای لایه مخفی بطور غیر مستقیم و از طریق تعیین تعداد وزنهای لایه مخفی شبکه انجام می گیرد این الگوریتم نیز مانند دو الگوریتم ۱ و ۲ شبکه ای با اتصالات محلی تولید میکند (تذکر ۱). در صورتیکه تعداد واحدهای مخفی اولیه برای دو الگوریتم ۱ و ۳ یکسان باشند تعداد واحدهای مخفی تعیین شده توسط الگوریتم ۳ بیشتر از تعداد واحدهای مخفی تعیین شده توسط الگوریتم ۱ میباشد زیرا در الگوریتم ۳ بصورت صریح وحدی حذف نمیگردد. بدلیل استفاده از مزایای آموزش شبکه های بزرگ، تعداد واحدهای مخفی در ابتدای آموزش شبکه توسط الگوریتم ۳ بیشتر از تعداد تعیین شده توسط الگوریتم ۱ در نظر گرفته شده است. این الگوریتم روی مسائل نمونه پیاده سازی شده و نتایج آزمایشات در جداول ۹ تا ۱۲ آورده شده است. لازم بذکر است که در تمامی آزمایش های زیر برای آموزش و تعیین ساختار شبکه های عصبی ۱۰۰۰۰ بار مجموعه آموزشی به شبکه ارایه شده است.

دسته بندی چهار دسته از الگوها: الگوریتم ۳ روی ۶ شبکه با وزنهای اولیه تصادفی آزمایش شده اند و نتایج آن در جدول ۹ نشان داده شده است. برای تمامی این شبکه ها از اتماتان (2, 7, 117) HWLA استفاده شده است. لازم بذکر است که برای انجام آزمایش های مختلف، نرخ یادگیری برابر  $0.14$ ، ضریب گشتاور برابر  $0.16$ ، ضریب کاهش وزن برابر  $0.09$ ، ضریب پهنای روشی برابر  $0.15$  و نرخ گرفته شده است.



شکل ۲۵ : تغییرات تعداد وزنهای لایه مخفی شبکه براساس تکرار ارایه الگو

باتوجه به جداول ۳-ب و جدول ۷ میتوان به نکات زیر اشاره نمود. نسبت متوسط تعداد وزن ورودی به واحدهای مخفی در الگوریتم های ۱ و ۲ تقریباً مساوی هستند. بدلیل اینکه در حین کاهش تعداد وزنهای شبکه، تعداد واحدهای مخفی، خروجی های مشابه ای را تولید میکند تعداد واحدهای مخفی تعیین شده توسط الگوریتم ۲ بسیار بیشتر از تعداد واحدهای مخفی تعیین شده توسط الگوریتم ۱ میباشد و الگوریتم ۲ قادر به حذف واحدهای مشابه ای را تولید میکند. ذخیره شده در بردار وزن واحدهایی که خروجی های مشابه ای را تولید میکند تقریباً یکسان است و میتوان همه این واحدهای مشابه ای را بجزیکی از آنها حذف نمود. البته این کار میتواند بعد از تعیین ساختار شبکه توسط الگوریتم دیگری انجام گیرد).

مسئله تشخیص اعداد لاتین: الگوریتم ۲ روی ۶ شبکه با وزنهای اولیه تصادفی آزمایش شده اند و نتایج آن در جدول ۸ نشان داده اند. برای تمامی این شبکه های ابرای قسمت (الف) از اتماتان (2, 20, 975) HWLA و برای قسمت (ب) از اتماتان (2, 20, 3900) HWLA استفاده شده است. لازم بذکر است که برای انجام آزمایش های مختلف، نرخ یادگیری برابر  $0.10$ ، ضریب گشتاور برابر صفر، ضریب کاهش وزن برابر  $0.09$ ، ضریب پهنای روشی برابر  $0.1$ ، و ضریب پهنای خاموشی برابر  $0.05$  در نظر گرفته شده است.

جدول ۸ : نتیجه شبیه سازی الگوریتم ۲ برای مثال ۴

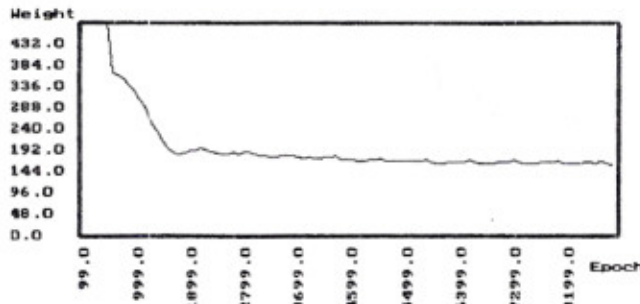
الف ) نتیجه الگوریتم ۲ برای مثال ۳ برای اتماتان (2, 7, 875)

شبکه	واحد مخفی	تعداد وزنهای لایه مخفی	درصد تشخیص (آزمایش)	درصد تشخیص (آزمایش)
۱	۱۵	۵۱۲	۱۰۰	۱۰۰
۲	۱۵	۴۸۸	۱۰۰	۱۰۰
۳	۱۵	۵۲۷	۱۰۰	۱۰۰
۴	۱۵	۵۲۲	۱۰۰	۱۰۰
۵	۱۵	۵۰۷	۱۰۰	۱۰۰
۶	۱۵	۵۱۵	۱۰۰	۱۰۰
متوجه	۱۵	۵۱۱/۸۳	۱۰۰	۱۰۰

ب ) نتیجه الگوریتم ۲ برای مثال ۳ برای اتماتان (2, 7, 3900)

شبکه	واحد مخفی	تعداد وزنهای لایه مخفی	درصد تشخیص (آزمایش)	درصد تشخیص (آزمایش)
۱	۶۰	۴۴۰	۱۰۰	۹۰
۲	۶۰	۵۲۷	۱۰۰	۱۰۰
۳	۶۰	۵۴۱	۱۰۰	۱۰۰
۴	۶۰	۵۸۲	۱۰۰	۱۰۰
۵	۶۰	۵۷۱	۱۰۰	۱۰۰
۶	۶۰	۵۲۱	۱۰۰	۱۰۰
متوجه	۶۰	۵۲۲/۶۶	۱۰۰	۹۸/۲۴

شکل ۲۵ منحنی تغییرات تعداد وزنهای لایه مخفی شبکه را براساس تکرار ارایه الگو برای شبکه شماره ۱ جدول ۱۱ نشان میدهد.



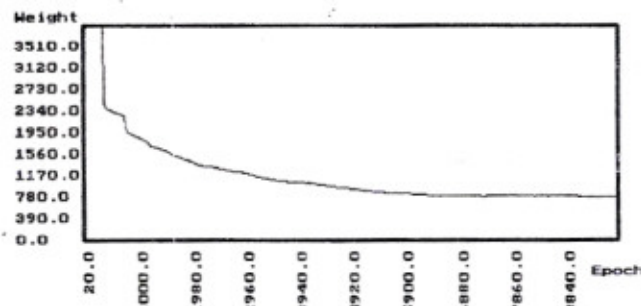
شکل ۲۵: تغییرات تعداد وزنهای لایه مخفی شبکه براساس تکرار ارایه الگو

مسئله تشخیص اعداد لا تین: الگوریتم ۳ روی ۶ شبکه با وزنهای اولیه تصادفی آزمایش شده اند و نتایج آن در جدول ۱۲ HWLA استفاده شده است. برای تمامی این شبکه ها از اتوماتان (2, 7, 180) ۳۹۰۰۰ انجام آزمایشها می باشد. برای تمامی این شبکه ها نتایج آن در جدول ۱۲ HWLA استفاده شده است. لازم بذکر است که برای انجام آزمایشها مختلف، نرخ یادگیری برابر  $0.01$ ، ضریب گشتاور برابر صفر، ضریب کاهش وزن برابر  $0.001$ ، ضریب پهنای روشی برابر  $0.001$ ، و ضریب پهنای خاموشی برابر  $0.0001$  در نظر گرفته شده است.

جدول ۱۲: نتیجه شبیه سازی الگوریتم ۳ برای مثال ۴

درصد تشخیص (آزمایشی)	درصد تشخیص (آموزش)	تعداد وزنهای لایه مخفی	واحد مخفي	شبکه
۱۰۰	۱۰۰	۷۷۱	۶۰	۱
۱۰۰	۱۰۰	۸۰۲	۶۰	۲
۱۰۰	۱۰۰	۷۷۴	۶۰	۳
۱۰۰	۱۰۰	۷۸۴	۶۰	۴
۱۰۰	۱۰۰	۷۸۶	۶۰	۵
۱۰۰	۱۰۰	۷۸۷	۶۰	۶
۱۰۰	۱۰۰	۷۸۴	۶۰	متوسط

شکل ۲۶ منحنی تغییرات تعداد وزنهای لایه مخفی شبکه را براساس تکرار ارایه الگو برای شبکه شماره ۱ جدول ۱۲ نشان میدهد.



شکل ۲۶: تغییرات تعداد وزنهای لایه مخفی شبکه براساس تکرار ارایه الگو

تذکر ۲: نتایج آزمایشات برای هر سه الگوریتم پیشنهادی نشان می دهند با افزایش تعداد واحدهای ورودی شبکه، متوسط نسبت تعداد وزنهای روشی به کل وزنهای آن واحد در ابتدای آموزش (تعداد واحدهای ورودی شبکه) برای واحدهای مخفی کاهش می یابد. با توجه به اینکه

جدول ۹: نتیجه شبیه سازی الگوریتم ۳ برای مثال ۱

درصد تشخیص (آزمایشی)	درصد تشخیص (آموزش)	تعداد وزنهای لایه مخفی	واحد مخفي	شبکه
۱۰۰	۱۰۰	۲۹	۱۷	۱
۱۰۰	۱۰۰	۲۹	۱۷	۲
۹۵	۱۰۰	۳۰	۱۷	۳
۹۷/۵	۱۰۰	۲۹	۱۷	۴
۱۰۰	۱۰۰	۲۷	۲۰	۵
۱۰۰	۱۰۰	۳۴	۲۰	۶
۹۸/۷۵	۱۰۰	۲۹/۶۶	۱۸	متوسط

دسته بندی دو دسته از الگوهای الگوریتم ۳ روی ۶ شبکه با وزنهای اولیه تصادفی آزمایش شده اند و نتایج آن در جدول ۱۰ HWLA استفاده شده است. برای تمامی این شبکه ها از اتوماتان (2, 7, 180) استفاده شده است. لازم بذکر است که برای انجام آزمایشها مختلف، نرخ یادگیری برابر  $0.01$ ، ضریب گشتاور برابر صفر، ضریب کاهش وزن برابر  $0.001$ ، ضریب پهنای روشی برابر  $0.001$  و ضریب پهنای خاموشی برابر  $0.0001$  در نظر گرفته شده است.

جدول ۱۰: نتیجه شبیه سازی الگوریتم ۳ برای مثال ۲

درصد تشخیص (آزمایشی)	درصد تشخیص (آموزش)	تعداد وزنهای لایه مخفی	واحد مخفي	شبکه
۱۰۰	۱۰۰	۸۲	۲۵	۱
۱۰۰	۱۰۰	۹۸	۲۵	۲
۱۰۰	۱۰۰	۶۵	۲۰	۳
۱۰۰	۱۰۰	۶۸	۲۵	۴
۱۰۰	۱۰۰	۹۰	۲۴	۵
۱۰۰	۱۰۰	۸۳	۲۷	۶
۱۰۰	۱۰۰	۸۱	۲۱	متوسط

مسئله تشخیص اعداد چاپی فارسی: الگوریتم ۳ روی ۶ شبکه با وزنهای اولیه تصادفی آزمایش شده اند و نتایج آن در جدول ۱۱ HWLA استفاده شده است. برای تمامی این شبکه ها از اتوماتان (2, 7, 480) استفاده شده است. لازم بذکر است که برای انجام آزمایشها مختلف، نرخ یادگیری برابر  $0.04$ ، ضریب گشتاور برابر صفر، ضریب کاهش وزن برابر  $0.004$ ، ضریب پهنای روشی برابر  $0.015$  و ضریب پهنای خاموشی برابر  $0.0015$  در نظر گرفته شده است.

جدول ۱۱: نتیجه شبیه سازی الگوریتم ۳ برای مثال ۲

درصد تشخیص (آزمایشی)	درصد تشخیص (آموزش)	تعداد وزنهای لایه مخفی	واحد مخفي	شبکه
۱۰۰	۹۹/۳۷۵	۱۵۸	۵۶	۱
۱۰۰	۹۹/۳۷۵	۱۴۴	۵۷	۲
۱۰۰	۹۹/۳۷۵	۱۴۹	۵۵	۳
۱۰۰	۹۹/۳۷۵	۱۶۱	۵۶	۴
۱۰۰	۹۸/۷۵	۱۱۱	۵۰	۵
۱۰۰	۹۸/۷۵	۱۶۰	۵۶	۶
۱۰۰	۹۹/۱۶	۱۴۷/۱۶	۵۵	متوسط

صورتیکه تعداد تقریبی واحدهای مخفی از قبل مشخص باشد نتایجی مشابه الگوریتم ۱ را تولید میکند. (۳) شبکه های تولید شده توسط الگوریتم ۲ دارای کارایی پایین تری نسبت به شبکه های تولید شده توسط الگوریتم ۱ هستند. (۴) در الگوریتم ۲ در صورتیکه تعداد واحدهای مخفی اولیه نسبتاً زیاد باشد، ساختار تعیین شده برای شبکه دارای تعداد واحدهای مخفی زیادی خواهد بود. نتیجه (۳) بدین علت است که الگوریتم ۱، آموزش را زیک شبکه بزرگ شروع می کند و سپس در حین آموزش واحدهای مخفی را کم یا زیاد می نماید و در نتیجه از مزایای در حین آموزش شبکه های بزرگ (بچیدگی آموزش کم، دوری از حداقل های محلی) بیشترین بهره را می برد.

تذکر ۵: با توجه به جداول ۵ تا ۸ مشاهده می گردد که نسبت متوسط تعداد وزن ورودی بر واحد مخفی در قسمت (الف) این جداول بیشتر از قسمت (ب) آنها می باشد و این تفاوت با افزایش تعداد واحدهای ورودی شبکه (تعداد ویژگیهای الگوها) افزایش می یابد. یک دلیل این افزایش این است که شبکه حداکثر کوشش خود را در حفظ وزنهای موجود می نماید. در صورتیکه شبکه های بزرگ نسبت به حذف وزن مقاوم تر هستند و بهمین دلیل این نسبت کاهش می یابد.

تذکر ۶: در الگوریتم ۳ وزنها بصورت عمومی و با همه وزنهای روشن واحدهای روشن لایه مخفی مقایسه میگرند و یک وزن ممکن است بصورت اشتیاه حذف گردد زیرا ممکن است یک وزن نسبت به وزنهای ورودی همان واحد مخفی دارای مقدار بزرگی و در نتیجه برای دسته بندي مورد نیاز باشد اما یک واحد مخفی دیگر دارای وزنهای نسبتاً بزرگ باشد و یکی از وزنهای این واحدهای دسته بندي لازم نباشد. مقایسه این دو وزن کوچک (وزن مناسب) و بزرگ (وزن نامناسب) باعث حذف وزن کوچکتر گردد. در نتیجه الگوریتم ۳ با احتیاط بیشتری وزنهای را حذف میکند که باعث تولید شبکه های بزرگتر می گردد.

تذکر ۷: در این قسمت الگوریتم زمانبندی دیگری برای نحوه فعالیت اتوماتانهای یادگیر تعیین تعداد واحدها و وزنهای لایه مخفی شبکه عصبی سه لایه بیان و نتایج آن برای یک مسئله نمونه ارایه میگردد. در این الگوریتم، در حین آموزش، هدوواتوماتان تعیین تعداد واحدها و وزنهای لایه مخفی روشن هستند و طور همزمان سعی در پیدا نمودن ساختار مناسب شبکه عصبی را دارند. لازم بذکر است که اتوماتان تعیین تعداد وزنهای لایه مخفی در هر مرحله فقط وزنهای متصل به واحدهای مخفی روشن را بررسی می کند و با تغییر وضعیت آنها جهت یافتن ساختار مناسب حرکت می کند. این الگوریتم برای مسئله تشخیص اعداد لاتین روی ۶ شبکه آزمایش شده است و نتایج آزمایشها در جدول ۱۳ نشان داده شده است. برای آزمایشها انجام شده در این جدول، از اتوماتان (2, 20, 60)-HWLA (2, 20, 3900) استفاده گردیده است. در این آزمایشها مقدار نزدیک برابر ۰/۰۵ و ضریب گشتاور برابر ۱/۰ در الگوریتم انتشار خطابه عقب، ضریب پهنای روشنی و ضریب پهنای خاموش بترتیب برابر ۰/۰۵ و ۰/۰۵ در برای تعیین تعداد واحدهای لایه مخفی و ضریب پهنای روشنی و ضریب پهنای خاموش بترتیب برابر ۰/۰۵ و ۰/۰۵ در برای تعیین تعداد وزنهای لایه مخفی استفاده گردیده است.

حذف یک وزن بین یک واحد ورودی (ویژگی) و یک واحد مخفی بمنزله از بین رفتن وابستگی ابر صفحه تولید شده توسط واحد مخفی به آن ویژگی می گردد (زمانیکه وزنهای متصل به یک واحد ورودی حذف گردد آن واحد ورودی (ویژگی) برای شناسایی مهم نیست و می تواند حذف شود). این بدان معنی است که این الگوریتم ها موقعی کارایی بالای خواهند داشت که تعداد واحدهای ورودی شبکه زیاد باشد. از این خاصیت می توان برای تعیین یک زیر مجموعه از مجموعه ویژگیهای مناسب برای جداسازی الگوها استفاده نمود. بعنوان مثال، در شناسایی نوی حروف، ویژگیهای گشتاورها، گشتاورهای مرکزی، گشتاورهای مقیاس شده و ثابت های گشتاوری از تصویر حروف استخراج شده از تصویر میتوانند مورد استفاده قرار گیرند. برای تعیین بهترین زیر مجموعه از مجموعه ویژگیهای فوق، میتوان تمام این ویژگیها را به شبکه ارایه نموده و از طریق الگوریتم تعیین ساختار شبکه، بهترین زیر مجموعه ویژگیها را برای کاربرد مورد نظر انتخاب نمود.

تذکر ۸: در الگوریتم بقا (قسمت اول الگوریتم ۱)، در ابتدا واریانس فعالیت واحدهای مخفی تقریباً مشابه هستند و بیشتر آنها مناسب تشخیص داده شده و روش می مانند. اما بتدريج در حین آموزش، واریانس فعالیت تعدادی از واحدهای مخفی افزایش و تعدادی آنها کاهش می یابد ( واحدهایی که واریانس فعالیت آنها افزایش میابد واحدهایی هستند که نقش موثر و مثبتی در عملکرد شبکه دارا هستند و واحدهایی که واریانس فعالیت آنها کاهش می یابد نقش موثری در عملکرد شبکه دارا نیستند) و بدین ترتیب قسمت هایی از شبکه که فعالیت بیشتری از خود نشان میدهند بتدريج کوچکتر میشود. همین پدیده در مورد وزنها نیز اتفاق میافتد. در ابتدا، مقادیر همه وزنها تقریباً یکسان هستند (زیرا در ابتدای آموزش وزنها بصورت تصادفی، از اعداد کوچکی انتخاب و مقدار دهی می شوند) که با پیشرفت آموزش، مقادیر تعدادی از وزنها افزایش و مقادیر تعدادی از آنها کاهش می یابد. نتایج آزمایشات نشان داده است که در حین آموزش، از تعداد وزنها که مقدار آنها بزرگ است کاسته می شود. پدیده فوق را میتوان به این صورت نیز بیان نمود که در ابتدای آموزش همه قسمت های شبکه فعال هستند و در انتهای پیش کوچکی از شبکه فعال باقی میماند. در این میگردد و در انتهای پیش کوچکی از شبکه فعالها از شبکه غیر فعال هستند و بتدريج و با پیشرفت آموزش بخش هایی از شبکه غیر فعال میگردد. باز هم در انتهای پیش کوچکی از شبکه فعال باقی میماند. در این بخش کوچک از شبکه، واریانس فعالیت واحدها بالا و وزنها دارای مقادیر بزرگ هستند. با بررسی های انجام شده روی مغز انسان، داشتمندان به این نتیجه رسیده اند که پدیده ای مشابه پدیده فوق در مغز انسان در زمان یادگیری نیز خ میدهد.<sup>۱</sup>

تذکر ۹: با توجه به نتایج شبیه سازیهای انجام گرفته برای مسائل ذکر شده میتوان نتیجه گرفت که (۱) از بین سه الگوریتم ارایه شده، الگوریتم ۱ شبکه های کوچکتر را تولید می نماید. (۲) الگوریتم ۲ در

۱- در بررسی هایی که روی مغز انسان به انجام رسیده است مشاهده شده است که الگوی فعالیت گستردگی در اوایل فرآگیری و سپس کلسته شدن از این فعالیت گستردگی پس از مادی شدن فعالیت، هم در مورد فعالیت های فیزیکی نظری تایب کردن و رانندگی کردن و امثال آن صادق است و هم در خصوص فعالیت های نظری و فکری مانند فراگرفتن اطلاعات تازه و یا خواهند مطالعه جدید (نظری دروس تازه) به منظور به خاطر سپردن آنها [روزنامه اطلاعات، تاریخ دوشنبه ۲۸ تیر ۱۳۷۸ صفحه ۲ ضمیمه].

میکند رصورتیکه ویژگی  $Z$  برای دسته های  $\{X\}$  و  $\{\#^*\}$  و دسته های  $\{+\}$  و  $\{-\}$  یکسان می باشد. در شکل ۶ برای مجموعه ویژگی  $\{Y\}$  دو زیر مجموعه  $\{X\}$  و  $\{Y\}$  این خاصیت را دارا می باشند. بنابر این پیدا نمودن ساختار شبکه عصبی سه لایه، تبدیل به پیدا کردن کمترین تعداد زیر مجموعه های اختلاف را برای دسته های میگردد بطوریکه هر زیر مجموعه بیشترین اختلاف را برای دسته های دو طرف ابر صفحه ایجاد نماید. مثلا برای شناسایی اعداد لاتین مجموعه ویژگی  $\{x_0, x_1, x_2, \dots, x_{e4}\}$  به شبکه اعمال می شود که  $x_0 = X$  و  $x_1, x_2, \dots, x_{e4}$  به شبکه عصبی سه لایه می شود که دارای مقدار یک ( واحد ورودی به وزن آستانه) و واحد ورودی  $x_k$  مقدار نقطه  $k$  ام تصویر را دریافت میکند. فرض کنید  $H = \{h_1, h_2, \dots, h_M\}$  کوچکترین مجموعه واحدهای مخفی لازم برای یک دسته بندی صحیح الگوها باشد. مسئله پیدا کردن ساختار بهینه برای شبکه عصبی به مسئله پیدا نمودن  $M$  زیر مجموعه با کمترین تعداد اعضاء از مجموعه  $X$  تبدیل می گردد که  $k$  امین زیر مجموعه، وزنهای متصل به واحد مخفی شماره  $h_k$  را نشان می دهد) بطوریکه شبکه تولید شده بتواند دسته بندی با دقت بالا را انجام دهد. مثلا برای شبکه شماره ۲ جدول ۴-ب که توسط الگوریتم یک بدلست آمده است، مجموعه واحدهای مخفی تعیین شده برابر  $\{4, 12, 13, 18, 27, 28, 59\} = H$  میباشد. مجموعه وزنهای ورودی برای واحدهای مخفی شماره  $4, 12, 13, 18, 27, 28, 59$  بترتیب عبارتند از:  $28, 18, 12, 13, 4, 18, 64, 18, 30, 28, 56, 4, 16, 18, 30, 28, 56, 18, 59, 61, 61, 52, 64, 18, 59, 64$ .

مقایسه الگوریتم های پیشنهادی بالا الگوریتم هرس کارنین: در این قسمت الگوریتم های پیشنهادی بالا الگوریتم هرس که توسط کارنین پیشنهاد گردیده است [۵۴] مقایسه میگردد. این الگوریتم به شرح زیر میباشد. در این الگوریتم، ابتدا شبکه بطور کامل آموزش داده می شود و در پایان آموزش، حساب سیستم هروزن (تأثیر منفی حذف یک وزن درتابع هدف شبکه) محاسبه میگردد و وزنهای که دارای حساسیت کمتری هستند حذف میگردند. در این الگوریتم مقدار حساسیت یک وزن ( $S_{ij}$ ) بصورت زیر محاسبه میگردد.

$$S_{ij} = - \frac{E(w^f) - E(0)}{w^f} \frac{w^f}{w^f - 0}$$

که  $w^f$  مقدار نهایی وزن در پایان دوره آموزش، ۰ مقدار وزن پس از حذف وزن  $w^f$ ،  $E(w^f)$  مقدار خطای شبکه در هنگام موجود بودن وزن  $w^f$  و  $E(0)$  مقدار خطای پس از حذف وزن  $w^f$  میباشد. برای محاسبه حساسیت یک وزن میتوان آن وزن را حذف نموده و مقدار خطای پس از نتیجه محاسبه حساسیت برای وزن حذف شده را محاسبه نمود. با توجه به اینکه محاسبه مقدار حساسیت برای وزن حذف شده نیاز به تعداد ارایه های مجموعه آموزشی از مرتبه  $O(W^2)$  دارد که  $W$  تعداد وزنهای شبکه است. مقدار حساسیت تخمین زده شده بصورت زیر محاسبه میگردد.

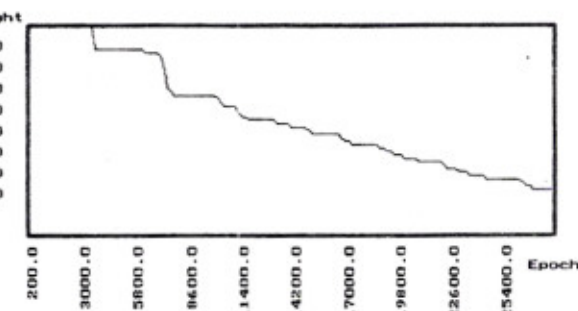
$$\hat{S}_{ij} = - \sum_{n=0}^{N-1} \frac{\partial E}{\partial w_{ij}} \Delta w_{ij} \frac{w^f}{w^f - w^f}$$

که  $N$  تعداد مراحل یک دوره آموزش،  $w^f$  مقدار نهایی وزن  $z_{ij}$  و  $w^f$  مقدار اولیه وزن  $z_{ij}$  میباشند. تمام اطلاعات مورد نیاز برای محاسبه فوق در زمان آموزش فراهم می باشد. پس از یک دوره آموزش، برای هر وزن یک مقدار تخمینی از حساسیت محاسبه می شود و وزنی

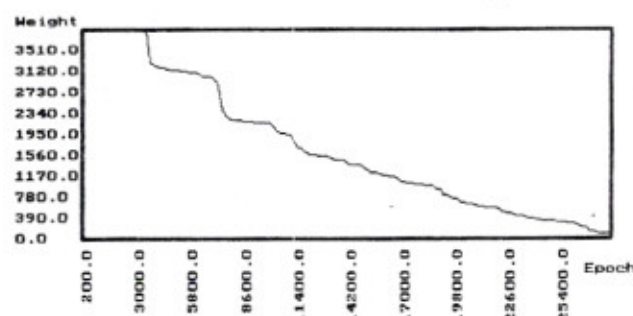
جدول ۱۳: نتیجه شبیه سازی برای مسئله تشخیص اعداد لاتین

شبکه مخفی	واحد	تعداد وزنهای لایه مخفی	درصد تشخیص (آموزش)	درصد تشخیص (آزمایشی)
۱	۱۰	۵۷	۱۰۰	۱۰۰
۲	۹	۱۲۵	۱۰۰	۱۰۰
۳	۷	۱۵۳	۱۰۰	۱۰۰
۴	۱۲	۹۲	۱۰۰	۱۰۰
۵	۷	۹۶	۱۰۰	۱۰۰
۶	۱۰	۱۸۰	۱۰۰	۱۰۰
متوجه	۹/۳۳	۱۱۷/۱۶	۱۰۰	۱۰۰

شکل های ۲۷ و ۲۸ منحنی تغییرات تعداد واحدهای وزنهای لایه مخفی شبکه براساس تکرار ارایه الگونشان داده شده است. شکل ۲۷ منحنی تغییرات تعداد واحدهای مخفی لایه مخفی و در شکل ۲۸ منحنی تغییرات تعداد وزنهای لایه مخفی شبکه را برای شبکه شماره ۱ جدول ۱۳ نشان میدهد.



شکل ۲۷: تغییرات تعداد واحدهای لایه مخفی شبکه براساس تکرار ارایه الگو



شکل ۲۸: تغییرات تعداد وزنهای لایه مخفی شبکه براساس تکرار ارایه الگو

باتوجه به جدول ۱۳ و جداول ۴، ۸، ۱۲ و ۱۶ مشاهده می شود که این الگوریتم بهتر از الگوریتم های ۲ و ۳ و کمی بدتر از الگوریتم ۱ عمل می کند و تعداد واحدهای مخفی در شبکه های تولید شده بسیار کمتر از تعداد واحدهای مخفی تعیین شده در الگوریتم های ۲ و ۳ و مقداری بیشتر از تعداد واحدهای مخفی تعیین شده توسط الگوریتم ۱ می باشد اما نسبت متوسط تعداد وزن بر واحد مخفی در این الگوریتم بیشتر از الگوریتم های پیشنهاد شده دیگر است. تذکر: هر واحد مخفی در شبکه های عصبی سه لایه یک ابر صفحه تولید می کند و این ابر صفحه یک یا چند دسته یا قسمتی از یک دسته الگو را از بقیه دسته هایی جدا می کند که مجموعه ویژگی های آنها تفاوت نسبتاً زیادی داشته باشند (مشابه شکل ۶ خط شماره ۱ با استفاده از ویژگی  $X$  دسته های  $\{+\}$ ،  $\{-\}$ ،  $\{X\}$  و  $\{\#\}$  را از هم جدا

لازم بذکر است که در آزمایش‌های جدول ۱۵ مقدار نرخ یادگیری برابر  $10\%$  و مقدار ضریب گشتاور برابر صفر در نظر گرفته شده است.

جدول ۱۵: نتیجه شبیه سازی الگوریتم کارنین برای مثال ۲

درصد تشخیص (آزمایشی)	درصد تشخیص (آموزش)	تعداد وزنهای لایه مخفی	واحد مخفي	شبکه
۱۰۰	۱۰۰	۱۵۸	۵۳	۱
۱۰۰	۱۰۰	۱۵۲	۵۱	۲
۱۰۰	۱۰۰	۱۵۷	۵۳	۳
۱۰۰	۱۰۰	۱۳۷	۴۶	۴
۱۰۰	۱۰۰	۱۵۰	۵۰	۵
۱۰۰	۱۰۰	۱۴۷	۴۹	۶
۱۰۰	۱۰۰	۱۵۰/۱	۵۰/۳	متوسط

با توجه به جداول ۲-ب، ۳-ب، ۱۰ و ۱۴ مشاهده می‌شود که تعداد وزنهای لایه مخفی تقریباً  $20\%$  برابر تعداد وزنهای تعیین شده توسط الگوریتم ۱،  $2\%$  برابر تعداد وزنهای تعیین شده توسط الگوریتم ۲ و پیشتر  $2\%$  برابر تعداد وزنهای تعیین شده توسط الگوریتم ۳ می‌باشد. همچنین در شبکه‌های تولید شده توسط الگوریتم هرس کارنین تقریباً همه واحدها دارای  $3\%$  وزن ورودی هستند. مشاهده شده است که برای مسائل ۱ و ۲ در بیشتر موارد الگوریتم کارنین، وزنهای را بطریقی هرس می‌نماید که وزنهای هرس شده متواضعاً متعلق به یک واحد مخفی می‌باشند و تا حد کامل این واحد ادامه پیدا می‌کند (جدول ۱۴ و ۱۵) و بهمین دلیل این الگوریتم در بیشتر موارد برای مسائل ۱ و ۲ شبکه ای با اتصالات محلی را تولید نمی‌نماید.

مسئله تشخیص اعداد چاپی فارسی: برای پیاده سازی این مسئله ۶ شبکه با ۷ واحد ورودی،  $60\%$  واحد مخفی و  $10\%$  واحد خروجی در نظر گرفته شده است. این شبکه‌ها ابتدا بطور کامل آموزش داده شده و سپس توسط الگوریتم کارنین هرس گردیده‌اند. پس از حذف یک وزن در شبکه،  $100\%$  بار مجموعه گوهای آموزش به شبکه ارایه و شبکه بازآموزی گردیده است و نتایج آن در جدول ۱۶ آورده مقدار ضریب گشتاور برابر  $0\%$  می‌باشد.

جدول ۱۶: نتیجه شبیه سازی الگوریتم کارنین برای مثال ۳

درصد تشخیص (آزمایشی)	درصد تشخیص (آموزش)	تعداد وزنهای لایه مخفی	واحد مخفي	شبکه
۹۰	۹۸/۱۲۵	۲۷۵	۵۸	۱
۱۰۰	۹۶/۶۲۵	۱۳۰	۵۸	۲
۹۰	۹۶/۸۷۵	۲۴۰	۵۹	۳
۱۰۰	۹۶/۶۲۵	۱۵۴	۵۶	۴
۱۰۰	۹۸/۱۲۵	۲۱۶	۶۰	۵
۱۰۰	۹۹/۳۷۵	۱۸۰	۶۰	۶
۹۶/۶۶	۹۷/۶۲۵	۱۹۹/۱۶	۵۸/۵	متوسط

با توجه به جداول ۳-ب، ۷-ب، ۱۱ و ۱۶ مشاهده می‌شود که تعداد وزنهای تعیین شده توسط الگوریتم کارنین برای لایه مخفی تقریباً  $10\%$

که دارای کمترین حساسیت هست حذف می‌گردد. قابل ذکر است اگر تمام وزنهای خروجی یک واحد حذف گردد آن واحد حذف می‌گردد. اگر همه وزنهای ورودی یک واحد حذف شوند خروجی این واحد دارای مقدار ثابتی می‌شود و میتوان این واحد را حذف نمود و اثر خروجی آنرا در مقدار آستانه واحد های لایه بعد اعمال نمود (شکل ۱۵). لازم بذکر است که در تمامی آزمایش‌های انجام گرفته با استفاده از الگوریتم کارنین ابتدا شبکه بطور کامل آموزش داده شده است بطوریکه قادر به شناسایی کامل مجموعه آموزشی باشدو سپس در مرحله هرس، پس از حذف یک وزن شبکه باز آموزی گردیده است. در مرحله هرس وزنهای  $50000\%$  بار مجموعه آموزشی به شبکه ارایه شده است و در انتها شبکه ای را که بهترین ساختار را دارد انتخاب و در جداول ۱۶ تا ۱۷ گزارش شده است. مسئله دسته‌بندی چهار دسته از گوها: برای پیاده سازی این مسئله ۶ شبکه با ۲ واحد ورودی،  $39\%$  واحد مخفی و  $4\%$  واحد خروجی در نظر گرفته شده است. این شبکه‌ها ابتدا بطور کامل آموزش داده شده و سپس توسط الگوریتم کارنین، هرس گردیده‌اند. پس از حذف وزن با کمترین حساسیت،  $100\%$  بار مجموعه گوهای آموزش به شبکه ارایه و شبکه بازآموزی گردیده است و نتایج آن در جدول ۱۴ آورده شده است. برای آزمایش‌های انجام شده مقدار نرخ یادگیری برابر  $0/1\%$  و مقدار ضریب گشتاور برابر  $0\%$  می‌باشد.

جدول ۱۴: نتیجه شبیه سازی الگوریتم کارنین برای مثال ۱

درصد تشخیص (آزمایشی)	درصد تشخیص (آموزش)	تعداد وزنهای لایه مخفی	واحد مخفي	شبکه
۱۰۰	۱۰۰	۸۲	۲۸	۱
۱۰۰	۱۰۰	۷۹	۲۷	۲
۱۰۰	۱۰۰	۸۶	۲۹	۳
۱۰۰	۱۰۰	۹۱	۲۱	۴
۱۰۰	۱۰۰	۹۷	۲۲	۵
۱۰۰	۱۰۰	۹۶	۲۲	۶
۱۰۰	۱۰۰	۸۸/۲۲	۳۰	متوسط

با توجه به جداول ۱-ب، ۵-ب،  $9\%$  و ۱۴ مشاهده می‌شود که تعداد وزنهای تعیین شده توسط الگوریتم کارنین برای لایه مخفی تقریباً  $2\%$  برابر تعداد وزنهای تعیین شده توسط الگوریتم ۱،  $2\%$  برابر تعداد وزنهای تعیین شده توسط الگوریتم ۲ و  $3\%$  برابر تعداد وزنهای تعیین شده توسط الگوریتم ۳ می‌باشد که این خود تاییدی بر برتری الگوریتم های پیشنهاد شده می‌باشد. لازم بذکر است که در شبکه‌های تولید شده توسط الگوریتم هرس کارنین تقریباً همه واحدها دارای  $3\%$  وزن ورودی هستند این بدان معناست که این الگوریتم در این مورد شبکه ای با اتصالات محلی را تولید نمی‌کند.

مسئله دسته‌بندی دو دسته از گوها: برای پیاده سازی این مسئله ۶ شبکه با ۲ واحد ورودی،  $60\%$  واحد مخفی و  $2\%$  واحد خروجی دو نظر گرفته شده است. این شبکه‌ها ابتدا بطور کامل آموزش داده شده و سپس توسط الگوریتم کارنین، هرس گردیده‌اند. پس از حذف یک وزن در شبکه،  $50000\%$  بار مجموعه گوهای آموزش به شبکه ارایه و شبکه بازآموزی گردیده است و نتایج آن در جدول ۱۵ آورده شده است.

جستجوی عمومی، زمانی کارایی بالای از خودنشان میدهد که فضایی که آنها جستجوی کنندبزرگ باشد. بهمین دلیل الگوریتم‌های پیشنهادشده در این مقاله که مبنی بر اتوماتانهای یادگیر طراحی شده‌اند مانی دارای کارایی بالای هستند که فضای جستجوی آنها (تعداد واحدهای لایه ورودی شبکه) بزرگ باشد. الگوریتم‌های پیشنهادی با الگوریتم هرس کارنین مقایسه گردیده است و برتری الگوریتم‌های پیشنهادی نسبت به این الگوریتم از طریق شبیه‌سازی نشان داده شده است.

### مراجع

- [1] Angeline, P. J., Saunders, G. M., and Pollack, J. B. (1994). Evolutionary Algorithm that Construct Recurrent Neural Networks, IEEE Trans. on Neural Networks, Vol. 5, No. 1, pp. 54-65.
- [2] Arai, M. (1993). Bounds on the Number of Hidden Units in Binary-Valued Three-Layer Neural Networks, Neural Networks, Vol. 6, pp. 855-860.
- [3] Beigy, H. and Meybodi, M. R. (1998). A Fast Method for Determining the Number of Hidden Units in Feedforward Neural Networks, Proc. of CSIC-97, Tehran, Iran , pp. 414-420 (In Persian).
- [4] Beigy, H. and Meybodi, M. R. (1998). Optimization of Topology of Neural Networks: A Survey, Technical Reports, Computer Eng. Dept. Amirkabir University of Technology, Tehran, Iran (In Persian).
- [5] Castellano, G., Fanelli, A. M., and Pelillo, M. (1997). A Iterative Pruning Algorithm for Feedforward Neural Networks, IEEE Trans. on Neural Networks, Vol. 8, No. 3, pp. 519-531.
- [6] Fahlman, S. E. and Lebier, C. (1990). The Cascade - Correlation Learning Architecture, Advances in Neural Information Processing System, Vol. II, pp. 524-532.
- [7] Frean, M. (1990). The Upstart: A Method for Constructing and Training Feedforward Neural Networks, Neural Computation, pp. 198-209.
- [8] Hashim, A. A., Amir, S., and Mars, p. (1986). Application of Learning Automata to Data Compression, In Adaptive and Learning Systems, K. S. Narendra (Ed.), New York: Plenum Press, pp. 229-234.
- [9] Hirose, Y., Yamashita, K., and Hijya, S. (1991). Back-Propagation Algorithm Which Varies The Number of Hidden Units, Neural Networks, Vol. 4, No. 1, pp. 61-66.
- [10] Huang, S. C. and Huang, Y. F. (1991). Bounds on the Number Hidden Neurons in Multilayer Perceptrons, IEEE Trans. on Neural Networks, Vol. 2, No. 1, pp. 47-56.
- [11] Kruschke, J. H. (1988). Creating Local and Distributed Bottlenecks in Hidden Layer of Backpropagation Networks, Proc. of Connectionist Models, Summer School, Eds. D. Touretzky, G. Hinton, and T. Sejnowski, pp. 120-126.
- [12] Kruschke, J. H. (1989). Improving Generalization in Backpropagation Networks, Proc. of Int. Joint Conf. on Neural Networks, Vol. I, pp. 443-447.
- [13] Kwok, T. Y. & Yeung, D. Y. (1997). Constructive Algorithms for Structure Learning in Feedforward Neural Networks for Regression Problems, IEEE Trans. on Neural Networks, Vol. 8, No. 3 pp. 630-645.
- [14] Lin, J. H. & Vitter, J. S. (1991). Complexity Results on Learning by Neural Nets, Machine Learning, Vol. 6, pp. 211-230.
- [15] Maniezzo, V. (1994). Genetic Evolution of The Topology and Weight Distribution of Neural Networks, IEEE Trans. on Neural Networks, Vol. 5, No. 1, pp. 39-53.
- [16] Marchand, M., Golea, M., and Rujan, R (1990). A Convergence Theorem for Sequential Learning in Two-Layer Perceptrons, Europhysics Letters 11, pp. 487-492.

برابر تعداد وزنهای تعیین شده توسط الگوریتم ۱، بیشتر از ۲ برابر تعداد وزنهای تعیین شده توسط الگوریتم ۲ و مقداری بیشتر از تعداد وزنهای تعیین شده توسط الگوریتم ۳ می‌باشد. نکته جالب توجه این است که در این مورد شبکه‌های تولید شده توسط الگوریتم هرس کارنین برای مسئله تشخیص اعداد چاپی فارسی و برخلاف مسائل قبل، شبکه‌هایی با اتصالات محلی هستند.

**مسئله تشخیص اعداد لا تین:** برای پیاده‌سازی این مسئله ۶ شبکه با ۶۴ واحد ورودی ۶۰ واحد مخفی و ۱۰ واحد در نظر گرفته شده است. این شبکه‌ها ابتدا بطور کامل آموزش داده شده و سپس توسط الگوریتم کارنین هرس گردیده است. پس از حذف یک وزن در شبکه، ۵۰۰ بار مجموعه الگوهای آموزش به شبکه ارایه و شبکه بازآموزی گردیده است و نتایج آن در جدول ۱۷ آورده شده است. برای آزمایش‌های جدول ۱۷ مقدار نرخ یادگیری برابر ۰۰۱ و مقدار ضربی گشتاور برابر صفر می‌باشد.

جدول ۱۷ : نتیجه شبیه‌سازی الگوریتم کارنین برای مثال ۴

شبکه	واحد مخفی	تعداد وزنهای لایه مخفی	درصد تشخیص (آزمایشی)	درصد تشخیص آموزش
۱	۶۰	۲۸۴۰	۱۰۰	۱۰۰
۲	۶۰	۲۸۴۲	۱۰۰	۱۰۰
۳	۶۰	۲۸۴۴	۱۰۰	۱۰۰
۴	۶۰	۲۸۴۹	۱۰۰	۱۰۰
۵	۶۰	۲۸۵۰	۱۰۰	۱۰۰
۶	۶۰	۲۸۴۸	۱۰۰	۱۰۰
متوسط	۶۰	۲۸۴۲.۱	۱۰۰	۱۰۰

باتوجه به جدول ۱۷ مشاهده می‌شود که الگوریتم کارنین تعداد کمی از وزنهای لایه مخفی را حذف نموده است. در هنگام شبیه‌سازی هامش‌سازه‌گردید که می‌خواهیم واحد مخفی و واحد مخفی، کارایی شبکه را داشت که این را به وجوده قادر به بازآموزی نمی‌گردد. همچنین در بررسی از شبیه‌سازی هامش‌سازه شده که بدون اینکه واحد مخفی حذف گردد کاهش زیادی در کارایی شبکه را خود میدهد. شبکه‌های ارایه شده در جدول ۱۷ نماینده شبکه‌های تولید شده توسط الگوریتم کارنین قبل از شروع کاهش شدید کارایی می‌باشد. مثال فوق، عدم کارایی الگوریتم هرس کارنین را در این مسئله نشان میدهد. الگوریتم‌های پیشنهادی روی مسائل متنوعی آزمایش شده‌اند که نتایج کامل آنها در مرجع [۴۹] مذکور است.

### ۷- نتیجه گیری

در این مقاله الگوریتم براساس اتوماتانهای یادگیر مهاجرت اشیا برای تعیین اساختار شبکه‌های عصبی سه لایه ارایه گردیده است. این الگوریتم‌ها تعداد واحدهای واحد وزنهای لایه مخفی یک شبکه عصبی سه لایه را تعیین می‌کنند. الگوریتم‌های پیشنهادی از اتوماتانهای مهاجرت اشیا و الگوریتم‌یادگیری انتشار خطابه عقب برای تعیین اساختار شبکه استفاده می‌کنند. الگوریتم‌های پیشنهادی، شبکه‌هایی با اتصالات محلی که دارای قدرت تعمیم بالایی هستند تولید می‌کنند. کارایی الگوریتم‌های پیشنهادی از طریق شبیه‌سازی روی مسائل مختلف نشان داده شده است. اتوماتانهای یادگیر عنوان یک ابزار

- Algorithms, Proc. of Int. Joint Conf. on Neural Networks, Vol. I, pp. 134.
- [38] Yao, X. and Liu, Y. (1997). A New Evolutionary System for Evolving Artificial Neural Networks, IEEE Trans. on Neural Networks, Vol. 8, No. 3, pp. 694-713.
- [39] Yeung, D. Y. (1991). Automatic Determination of Network Size for Supervised Learning, IEEE Int. Joint Conf. on Neural Networks, pp. 158-164.
- [40] Yu, X. H. (1992). Can Backpropagation Error Surface Not Have Local Minima, IEEE Trans. on Neural Networks, Vol. 3, No. 6, pp. 1019-1021.
- [41] Lippman, R. P. (1987). An Introduction to Computing with Neural Nets, IEEE ASSP Mag., Vol. 4, pp. 4-22.
- [42] Beigy, H. and Meybodi, M. R. (1999), Graph Isomorphism Using Learning Automata, Technical Reports, Computer Eng. Dept. Amirkabir University of Technology, Tehran, Iran (In Persian).
- [43] Beigy, H. and Meybodi, M. R. (1999), Optimization of Topology of Neural Networks Using Learning Automata", Proc. of 4th Annual Int. Computer Society of Iran Computer Conf. CSICC-98, Tehran, Iran, pp. 417-428 (In Persian).
- [44] Meybodi, M. R. and Lakshmivarhan, S. (1982), Optimality of a General Class of Learning Algorithm, Information Science, Vol. 28, pp. 1-20.
- [45] Meybodi, M. R. and Lakshmivarhan, S. (1984), On a Class of Learning Algorithms which have a Symmetric Behavior Under Success and Failure, Springer Verlag Lecture Notes in Statistics, pp. 145-155.
- [46] Meybodi, M. R. (1987), Results on Strongly Absolutely Expedient Learning Automata, Proc. of OU Inference Conf. 86, ed. D. R. Mootes and R. Butrick, Athens, Ohio: Ohio University Press, pp. 197-204.
- [47] Lakshmivarahan, S. (1981), Learning Algorithms: Theory and Applications, New York, Springer-verlag.
- [48] Dastpak, V. (1992), Automatic Recognition of Farsi Printed Letters, Ms. Thesis, Computer Eng. Dept. Amirkabir University of Technology, Tehran, Iran (In Persian).
- [49] Meybodi, M. R. and Beigy, H. (1999), Neural Network Engineering Using Learning Automata: Determination of Desired Size for Three Layer Feedforward Neural Network, Technical Reports, Computer Eng. Dept. Amirkabir University of Technology, Tehran, Iran (In Persian).
- [50] Judd, J. S. (1990), Neural Network Design and the Complexity of Learning, Cambridge, MA: MIT Press.
- [51] Frasconi, P., Gori, M. and Tesi, A. (1992), Successes and Failures of Backpropagation: A Theoretical Investigation, Technical Reports, Dipartimento di Sistemi e Informazione, Universita di Firenze, Firenze, Italy.
- [52] Hush, D. R. and Horne, B. G., (1993), Progress In Supervised Neural Networks, IEEE Signal Processing Magazine, Jan. 1993, pp. 8-39.
- [53] Schalkoff, R. J. (1992), Pattern Recognition: Statistical, Structural and Neural Approaches, John Wiley, New York.
- [54] Karnin, E. D. (1990), A Simple Procedure for Pruning Backpropagation Trained Neural Networks, IEEE Trans. on Neural Networks, Vol. 1, No. 2, pp. 239-242.
- [55] Ji, C., Snapp, R. R. and Psalatis (1990), Generalizing Smoothness Constraints from Discrete Samples, Neural Computation, Vol. 2, No. 2, pp. 188-197.
- [17] Mars, P., Chen, J. R., and Nambiar, R. (1998). Learning Algorithms: Theory and Application in Signal Processing, Control, and Communications, CRC press, New York.
- [18] Mars, P. and Narendra, K. S., and Chrystall, M. (1983). Learning Automata Control of Computer Communication Networks, Proc. of Third Yale Workshop on Applications of Adaptive Systems Theory, Yale University.
- [19] Meltser, M., Shoham, M., and Manevitz, L. M. (1996). Approximating Function by Neural Networks: A Constructive Solution in the Uniform Norm, Neural Networks, Vol 9, No. 6, pp. 965-978.
- [20] Meybodi, M. R. and Beigy, H. (1998). New Class of Learning Automata Based Scheme for Adaptation of Backpropagation Algorithm Parameters, Proc. of EUFIT-98, Achen, Germany, pp. 339-344.
- [21] Meybodi, M. R. and Lakshmivarhan, S. (1983). A Learning Approach to Priority Assignment in a Two Class M/M/1 Queuing System with Unknown Parameters, Proc. of Third Yale Workshop on Applications of Adaptive Systems Theory, Yale University, pp. 106-109.
- [22] Mezard, M. and Nadal, J. P. (1989). Learning in Feedforward Neural Networks: The Tiling Algorithm, Journal of Physics, pp. 1285-1296.
- [23] Minor, J. M. (1993). Parity With Two Layer Feedforward Nets, Neural Networks, Vol. 6, No. 5, pp. 705-707.
- [24] Nabhan, T. M. and Zomaya, A. Y. (1994). Toward Neural Networks Structures for Function Approximation, Neural Networks, Vol. 7, No. 1, pp. 89-99.
- [25] Narendra, K. S. and Thathachar, M. A. L. (1989). Learning Automata : An Introduction, Prentice-hall, Englewood cliffs.
- [26] Oommen, B. J. and Ma, D. C. Y. (1988). Deterministic Learning Automata Solutions to the Equipartitioning Problem, IEEE Trans. on Computers, No. 37, No. 1, pp. 2-13.
- [27] Oommen, B. J., Valiveti, R. S., and Zgierski, J. R. (1991). An Adaptive Learning Solution to the Keyboard Optimization Problem, IEEE Trans. on Systems, Man, and Cybernetics, Vol. 21, No. 6, pp. 1608-1618.
- [28] Oommen, B. J. and Croix, E. V. de St. (1996). Graph Partitioning Using Learning Automata, IEEE Trans. on Computers, No. 45, No. 2, pp. 195-208.
- [29] Rumelhart, D. E., Hinton, G. E., and Williams, R. J. (1986). Learning Internal Representations by Error Backpropagation, In Parallel distributed processing, Cambridge, MA: MIT Press.
- [30] Reed, R. (1993). Prunning Algorithms - A Survey, IEEE Trans. on Neural Networks, Vol. 4, No. 5, pp. 740-747.
- [31] Sietsma, J. and Dow, R. J. F. (1991). Creating Artificial Neural Networks that Generalize, Neural Networks, Vol. 4, No. 1, pp. 67-79.
- [32] Sirat, J. A. and Nadal, J. P. (1990). Neural Trees: A New Tool for Classification, Preprint, Laboratories d'Electronique, Philips, Limeil Brevannes, France.
- [33] Schaffer, J. D., Whitley, D., and Eshelman, L. J. (1992). Combinations of genetic algorithms and neural networks: A Survey of the state of the art, IEEE Proc. COGANN-92, pp. 1-37.
- [34] Sperduti, A. and Starita, A. (1993). Speed Up Learning and Network Optimization with Extended Backpropagation, Neural Networks, Vol. 6, pp. 365-383.
- [35] Suguru, S. and Tateishi, M. (1997). Capabilities of a Four-Layered Feedforward Neural Network: Four Layers Versus Three, IEEE Trans. on Neural Networks, Vol. 8, No. 2, pp. 251-255.
- [36] Thathachar, M. A. L. and Sastry, P. S. (1987). Learning Optimal Discriminant Functions Through a Cooperative Game of Automata, IEEE Trans. Syst., Man and Cybern., Vol. SMC-27, pp. 73-85.
- [37] Whitley, D. and Bogart, C. (1990). The Evolution of Connectivity: Pruning Neural Networks Using Genetic



انجمن کامپیوتر ایران  
Computer Society of Iran

دانشگاه  
بهشتی

# Proceedings

5th Annual International CSI  
Computer Conference  
(CSICC'2000)

Electrical and Computer Engineering Faculty  
Shahid Beheshti University  
7-9 March , 2000

5  
th Annual International CSI Computer Conference (CSICC'2000)

Electrical and Computer Engineering Faculty , Shahid Beheshti University , 7-9 March , 2000